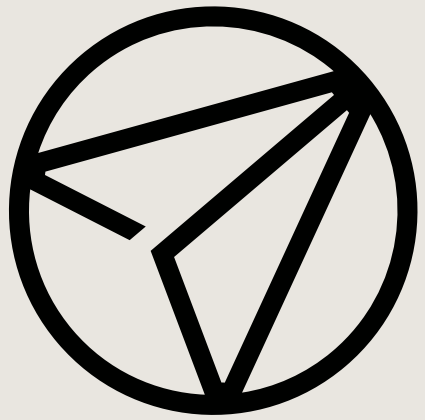


Parametertolkning i Plaxis for avanserte modeller

MED ET EKSEMPEL FRA ET PROSJEKT

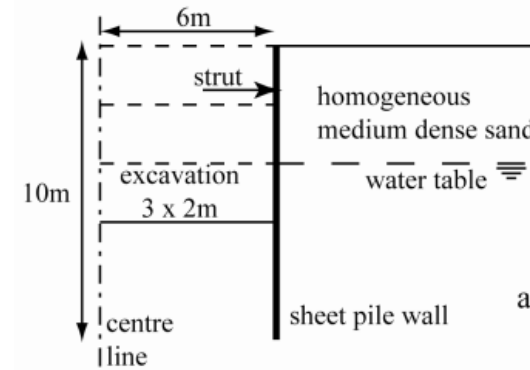


A F R Y
Å F P Ö Y R Y

Motivasjon:

Stor variasjon!

Muligens årsak: ulike antagelser!

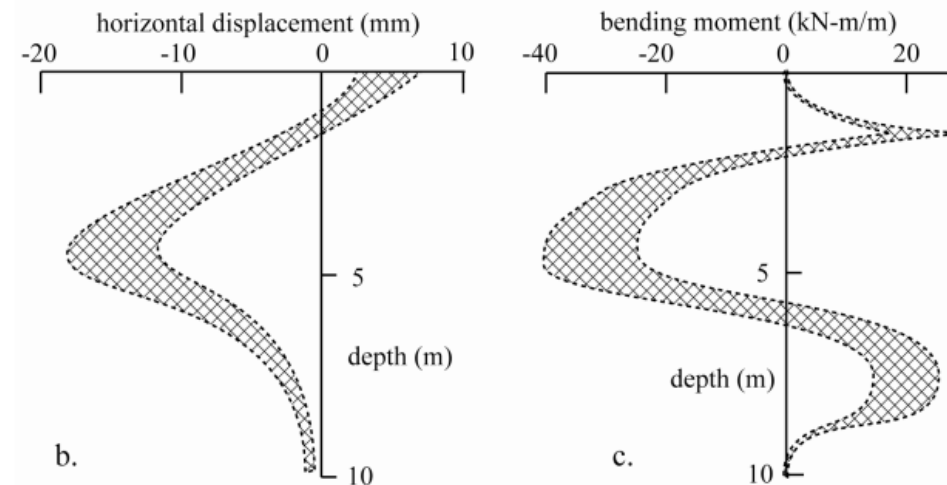


PLAXIS analyses

same problem – different modellers

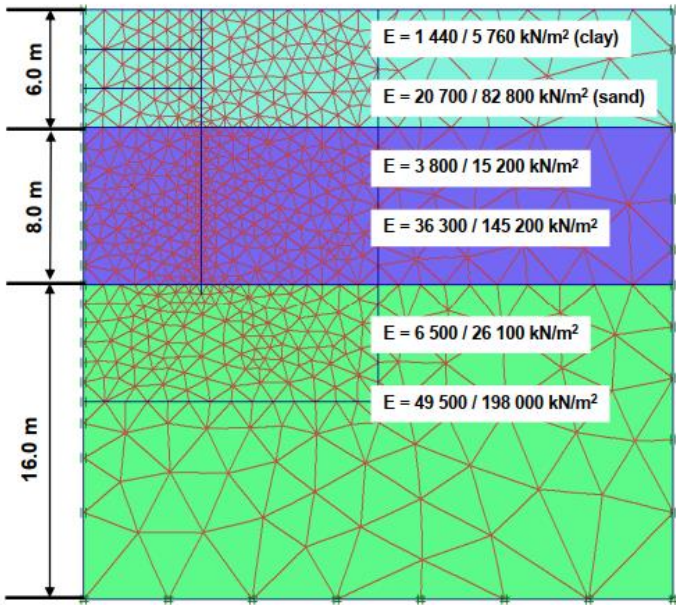
spread of predictions

(Schweiger, 2003)

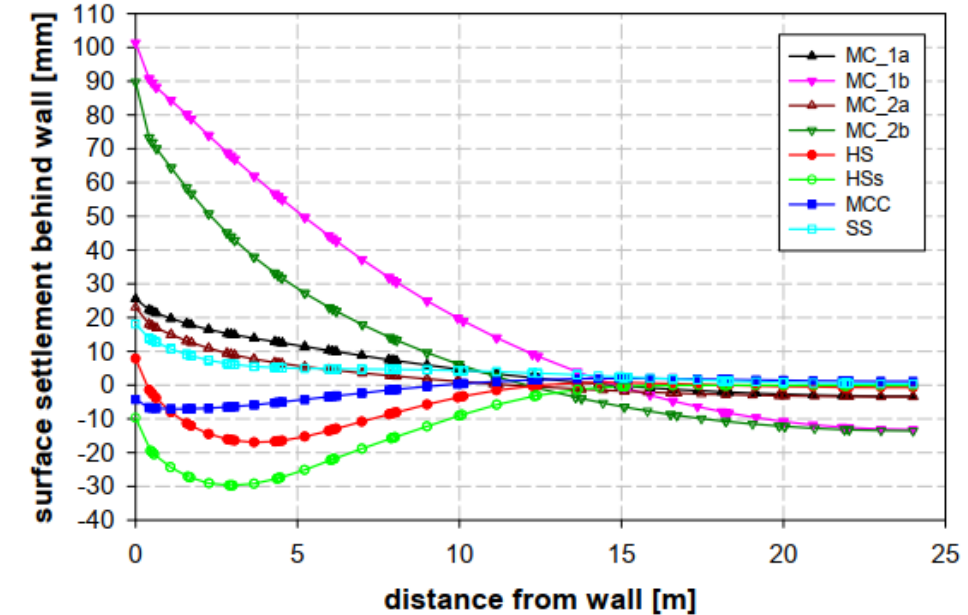


Fra «Soil modelling», NTNU kurs.

Et eksempel:



Mohr-Coulomb models
MC_1a: constant stiffness $E_{ur,ref}$
MC_1b: constant stiffness $E_{50,ref}$
MC_2a: 3 layers with average values based on E_{ur}
MC_2b: 3 layers with average values based on E_{50}

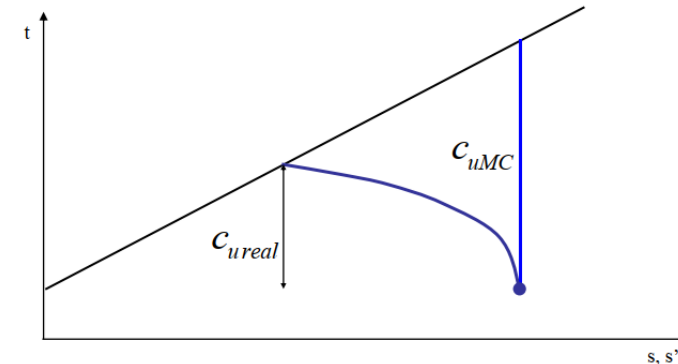


Fra «COMPUTATIONAL GEOTECHNICS», Plaxis kurs.

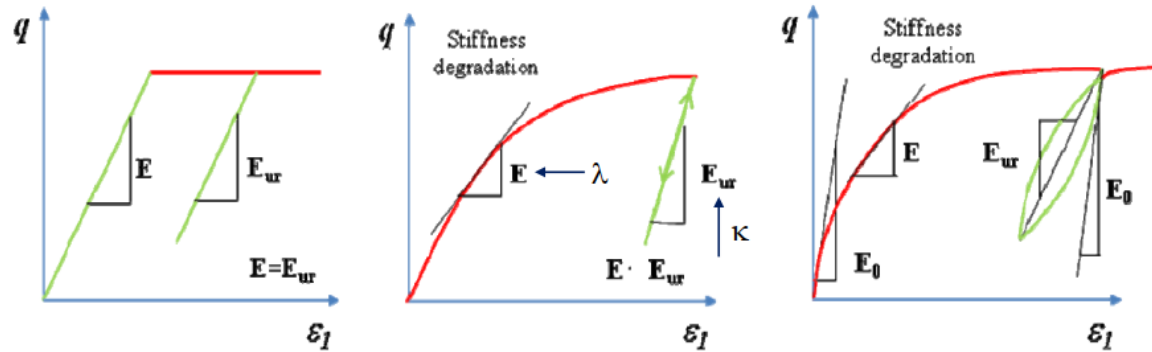
søppel inn → søppel ut

Begrensninger til Mohr Coulomb model

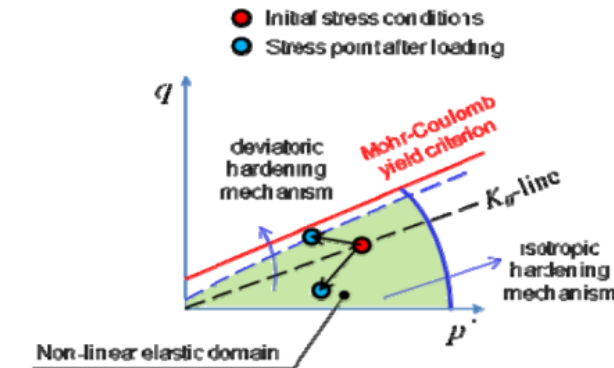
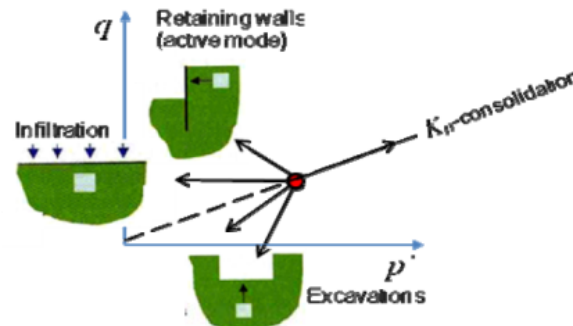
Modellen overestimerer udrenert skjærstyrke ved bruk av «undrained A»



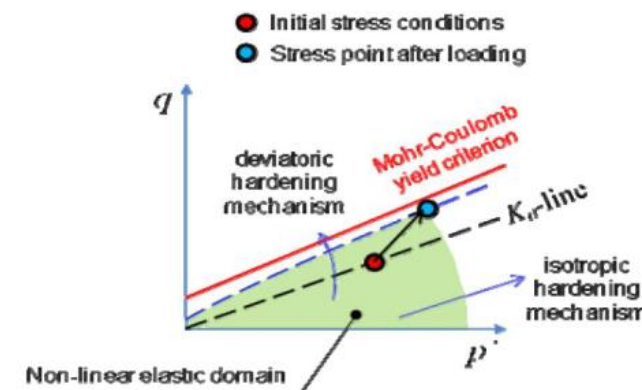
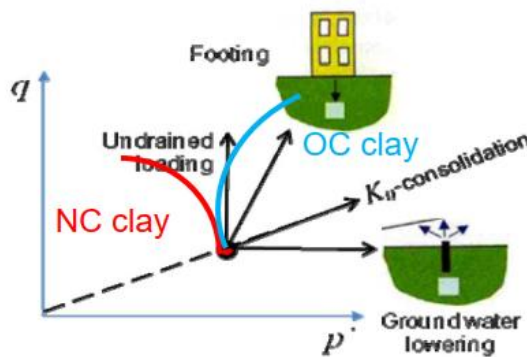
Kun en E-modul for MC modell:
Kan gi feil estimat på deformasjoner!



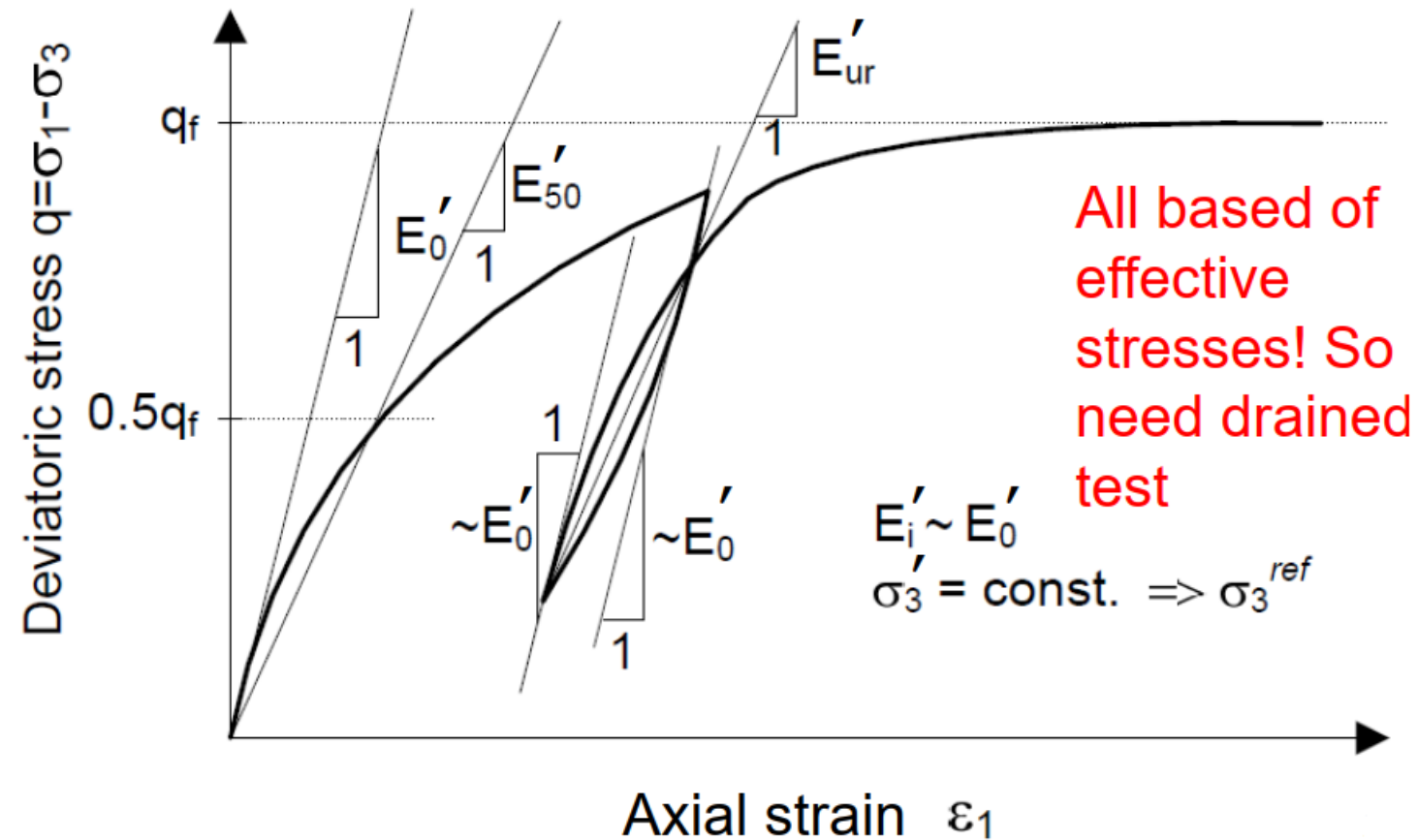
Eksempler på «avlasting»:



Eksempler på «pålasting»:



Ulike moduler for Hardening Soil modell



Parametere til "hardening Soil/ HS small" modell

Parameter	Description
E_{50}^{ref}	Reference secant stiffness from drained triaxial test
E_{oed}^{ref}	Reference tangent stiffness from oedometer test
E_{ur}^{ref}	Reference unloading/reloading stiffness from drained triaxial test
p_{ref}	Reference stress level for which $E_{50} = E_{50}^{ref}$, $E_{oed} = E_{oed}^{ref}$ and $E_{ur} = E_{ur}^{ref}$
m	Power for stress-dependent stiffness
ν_{ur}	Unloading/reloading Poisson's ratio
c'	Effective cohesion
φ'	Effective friction angle
ψ	Dilatancy angle at failure
K_0^{NC}	Ratio between horizontal and vertical stresses at normally consolidated state
G_0^{ref}	Reference Small-strain shear stiffness (HSsmall only)
$\gamma_{0.7}$	Shear strain level where shear stiffness G has reduced to 70% of G_0 (HSsmall only)
K_0 , OCR, POP	Initial stress state parameters (initial stress ratio, overconsolidation)

Referanse: 100 kPa

Fra Plaxis kurs/seminar om Hardening Soil

Stivhetsmodul for HS jordmodell

Stivhet avhenger av skjærtøyning, tøyning og avlasting/pålasting.

Shear hardening
secant modulus:

$$E_{50} = E_{50}^{ref} \left(\frac{\sigma_3' + a}{p_{ref} + a} \right)^m \Rightarrow E_{50} = E_{50}^{ref} \left(\frac{ccos(\varphi) - \sigma_3' \sin(\varphi)}{ccos(\varphi) + p_{ref} \sin(\varphi)} \right)^m$$

Compression hardening
tangent modulus:

$$E_{oed} = E_{oed}^{ref} \left(\frac{\sigma_1' + a}{p_{ref} + a} \right)^m \Rightarrow E_{oed} = E_{oed}^{ref} \left(\frac{ccos(\varphi) - \sigma_1' \sin(\varphi)}{ccos(\varphi) + p_{ref} \sin(\varphi)} \right)^m$$

Unloading/reloading
tangent modulus:

$$E_{ur} = E_{ur}^{ref} \left(\frac{\sigma_3' + a}{p_{ref} + a} \right)^m \Rightarrow E_{ur} = E_{ur}^{ref} \left(\frac{ccos(\varphi) - \sigma_3' \sin(\varphi)}{ccos(\varphi) + p_{ref} \sin(\varphi)} \right)^m$$

Fra Plaxis kurs/seminar om Hardening Soil

Modellen vil beregne stivhetsmodul for hvert «spenningspunkt».

Drenert stivhetsmodul for HS modell

Fremgangsmåte:

1. Tolkning av E_{50}^{lab} av alle treaksialforsøkene. Det er best å ha en «drenert» treaksialforsøk (ikke vanlig for leire). Tolk $E_{u,50,lab}$ slik:

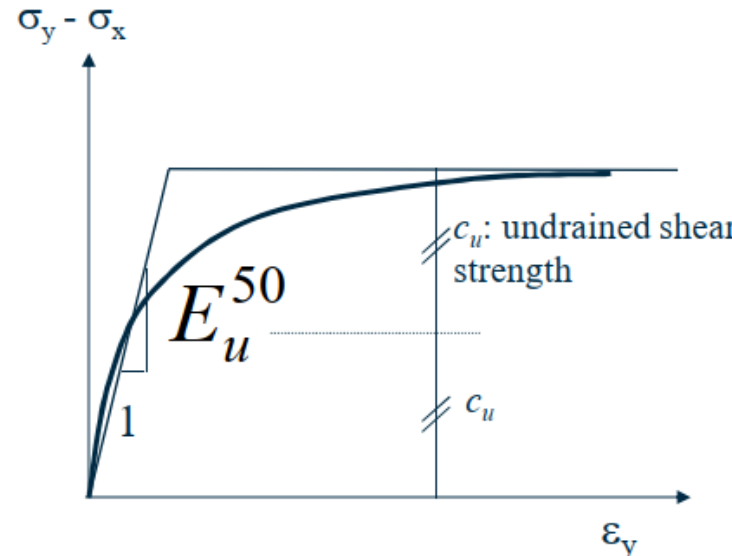
2. Finn effektiv E'_{50}

$$E'_{50} = f \cdot E_u^{50}$$

$$f = \frac{1+\nu}{1+\nu_u} \approx 0.8$$

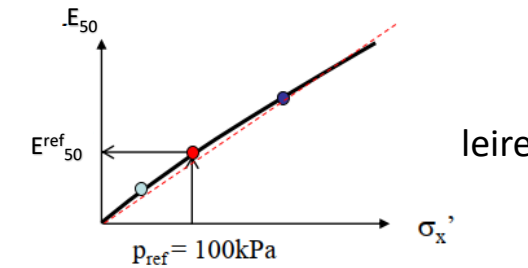
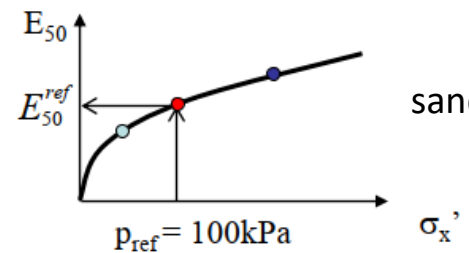
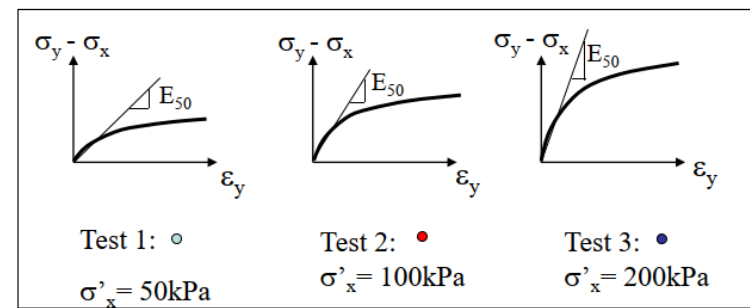
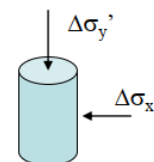
$$f \approx 0.7$$

Hooke
Brukes i Nederland



Drenert stivhetsmodul for HS modell

3. Finn ved p_{ref} (lik 100 kPa).



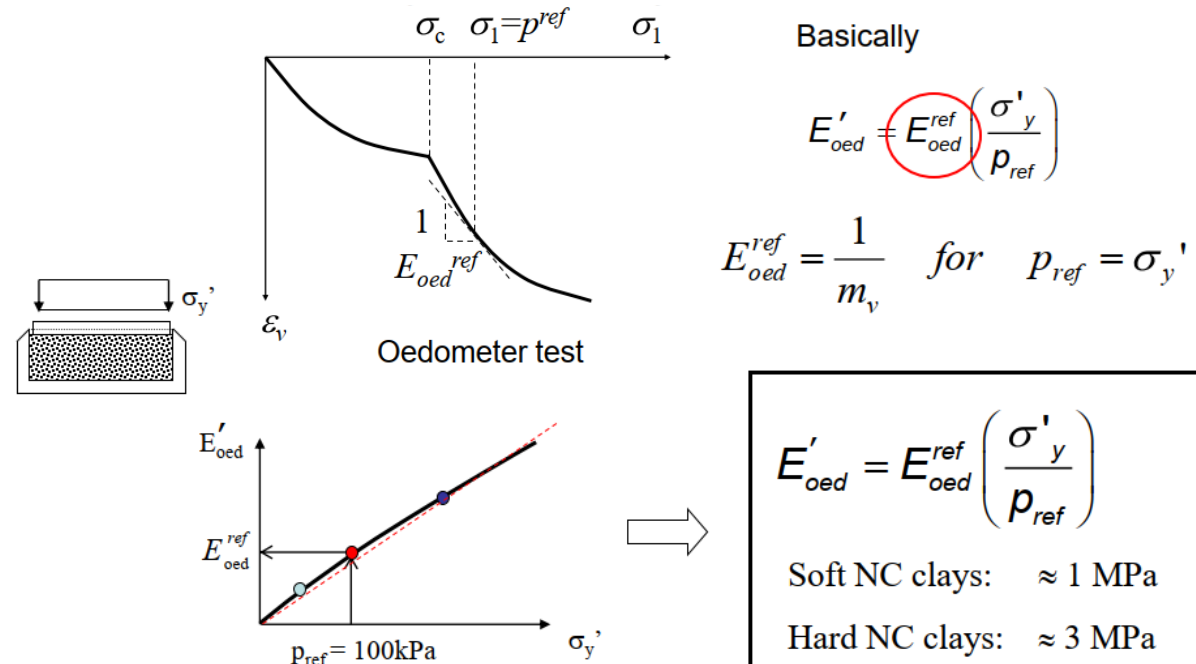
4. Bruk «SoilTest» i Plaxis og modeller treaksforsøk ved spenningsnivåer som tilsvarer labforsøkene.

5. Iterasjon for å finne en fornuftig E_{50}^{ref} hvor $E_{50}^{lab} \approx E_{50}^{ref}$

m kan variere mellom:
0,8 og 1,0 for leire
0,5 og 0,6 for sand
0,5 og 0,7 for silt

Drenert stivhetsmodul for HS

6. Beregn $E'_{oed,lab}$ fra ødometerforsøkene ved 100 kPa.



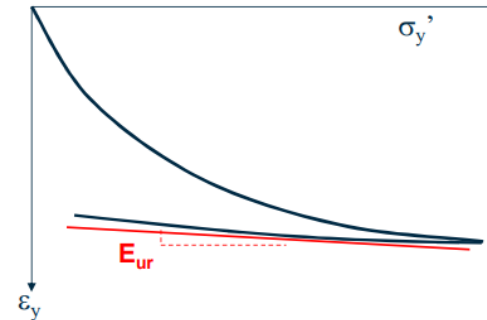
7. Bruk «SoilTest» i Plaxis for å modellere ødometerforsøkene.

8. Iterasjon for å finne en fornuftig E'^{ref}_{oed} hvor $E'^{lab}_{oed} \approx E'^{ref}_{oed}$

Drenert stivhetsmodul for HS

Fra Plaxis kurs.

9. Beregn $E_{ur,oed}$ hvis du har det.



For leire:

$$E_{ur,oed} = \alpha \cdot E_{oed} \text{ and } E_{ur} \approx 0.9 \cdot E_{ur,oed}$$

$$E_{ur}^{ref} = \alpha \cdot 0.9 \cdot E_{oed}^{ref} \left(\frac{\sigma_1' + a}{\sigma_3' + a} \right)^m = \alpha \cdot 0.9 \cdot E_{oed}^{ref} / (K_0)^m$$

$$K_0 \approx K_0^{NC} \cdot \sqrt{OCR}, K_0^{NC} \approx 1 - \sin(\varphi')$$

Clay (m=1):

$$\text{Soft : } E_{ur,oed} \approx 10E_{oed} \Rightarrow E_{ur}^{ref} \approx \frac{9}{K_0} E_{oed}^{ref} \approx (15 \text{ to } 20) \cdot E_{oed}^{ref}$$

$$\text{Stiff : } E_{ur,oed} \approx 3E_{oed} \Rightarrow E_{ur}^{ref} \approx \frac{3}{K_0} E_{oed}^{ref} \approx (2 \text{ to } 4) \cdot E_{oed}^{ref}$$

For sand:

$$E_{ur,oed} \approx 3 \cdot E_{oed} \text{ and } E_{ur,oed} \approx 1.1 \cdot E_{ur}:$$

$$1.1 \cdot E_{ur}^{ref} \left(\frac{\sigma_3' + a}{p_{ref}' + a} \right)^m = 3 \cdot E_{oed}^{ref} \left(\frac{\sigma_1' + a}{p_{ref}' + a} \right)^m \Rightarrow$$

$$E_{ur}^{ref} = \frac{3}{1.1} \cdot E_{oed}^{ref} \left(\frac{\sigma_1' + a}{\sigma_3' + a} \right)^m = \frac{2.7}{(K_0^{NC})^m} \cdot E_{oed}^{ref}$$

Sand (m=0.5):

$$E_{ur,oed} \approx 3 \cdot E_{oed}$$

$$E_{ur}^{ref} \approx (3 \text{ to } 5) \cdot E_{oed}^{ref}$$

Geoteknikkdagen 2017:

BESTEMMELSE AV HVILETRYKK (K₀) I NORSKE LEIRER – ANBEFALINGER (Jean-Sébastien L'Heureux)

$$K_0 = 0.48 I_p^{0.03} OCR^{0.47}$$

Input parametere til "hardening Soil/ HS small" jordmodell

Parameter	Description
E_{50}^{ref}	Reference secant stiffness from drained triaxial test
E_{oed}^{ref}	Reference tangent stiffness from oedometer test
E_{ur}^{ref}	Reference unloading/reloading stiffness from drained triaxial test
p_{ref}	Reference stress level for which $E_{50} = E_{50}^{ref}$, $E_{oed} = E_{oed}^{ref}$ and $E_{ur} = E_{ur}^{ref}$
m	Power for stress-dependent stiffness
ν_{ur}	Unloading/reloading Poisson's ratio
c'	Effective cohesion
φ'	Effective friction angle
ψ	Dilatancy angle at failure
K_0^{NC}	Ratio between horizontal and vertical stresses at normally consolidated state
G_0^{ref}	Reference Small-strain shear stiffness (HSsmall only)
$\gamma_{0.7}$	Shear strain level where shear stiffness G has reduced to 70% of G_0 (HSsmall only)
K_0 , OCR, POP	Initial stress state parameters (initial stress ratio, overconsolidation)

Referanse: 100 kPa

Fra Plaxis kurs/seminar om Hardening Soil

Drenert stivhetsmodul for sand

Løs sand: $E_{50}^{ref} \approx 15 \text{ MPa}$ og $E_{oed}^{ref} \approx 15 \text{ MPa}$

Fast sand: $E_{50}^{ref} \approx 50 \text{ MPa}$ og $E_{oed}^{ref} \approx 15 \text{ MPa}$

Og: $E_{ur}^{ref} \approx (3 - 5) \times E_{oed}^{ref}$

Korrelasjoner:

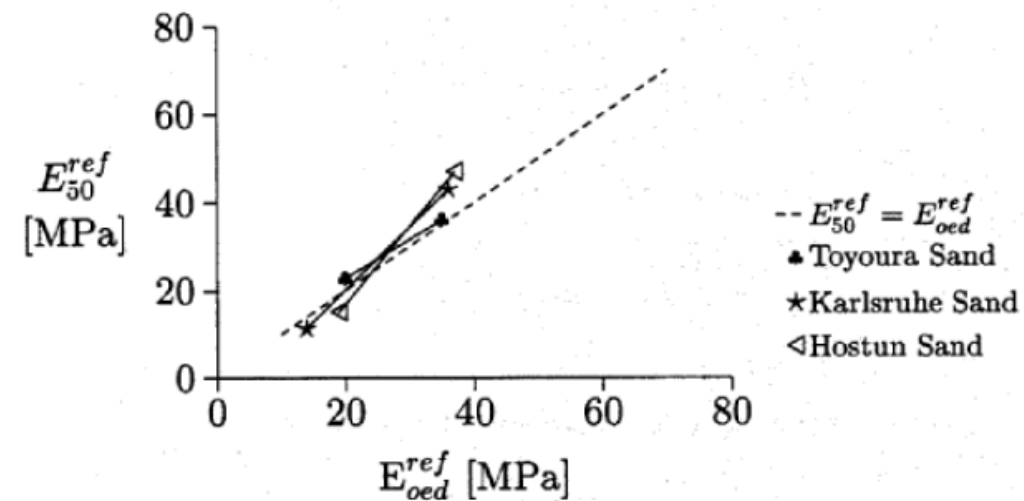
Correlation	Remark	Author
$E_{oed}^{ref} \approx R_D \cdot 60 \text{ MPa}$	$RD = \frac{e_{max} - e}{e_{max} - e_{min}}$	Lengkeek (for $p_{ref} = 100 \text{ kPa}$)
$E_{oed} = 4q_c$ $E_{oed} = 2q_c + 20 \text{ MPa}$ $E_{oed} = 120 \text{ MPa}$	$q_c < 10 \text{ MPa}$ $10 \text{ MPa} < q_c < 50 \text{ MPa}$ $q_c > 50 \text{ MPa}$	Lunne & Christoffersen (1983) <i>For stress level where q_c is measured</i>
$E_{50}^{ref} \approx E_{oed}^{ref}$		Schanz

Fra Plaxis kurs/seminar om Hardening Soil

Drenert stivhetsmodul for sand

Korrelasjoner:

For sands ($m \approx 0.5$):

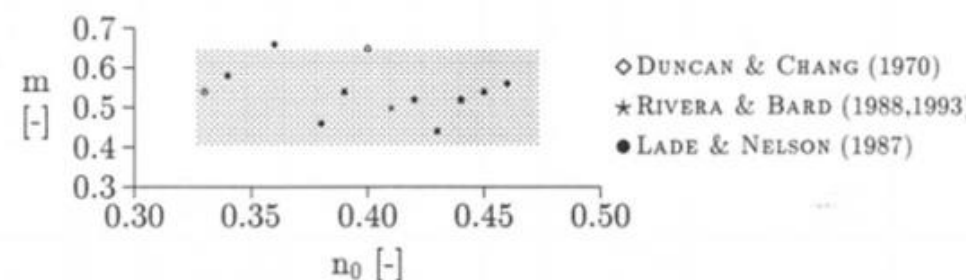
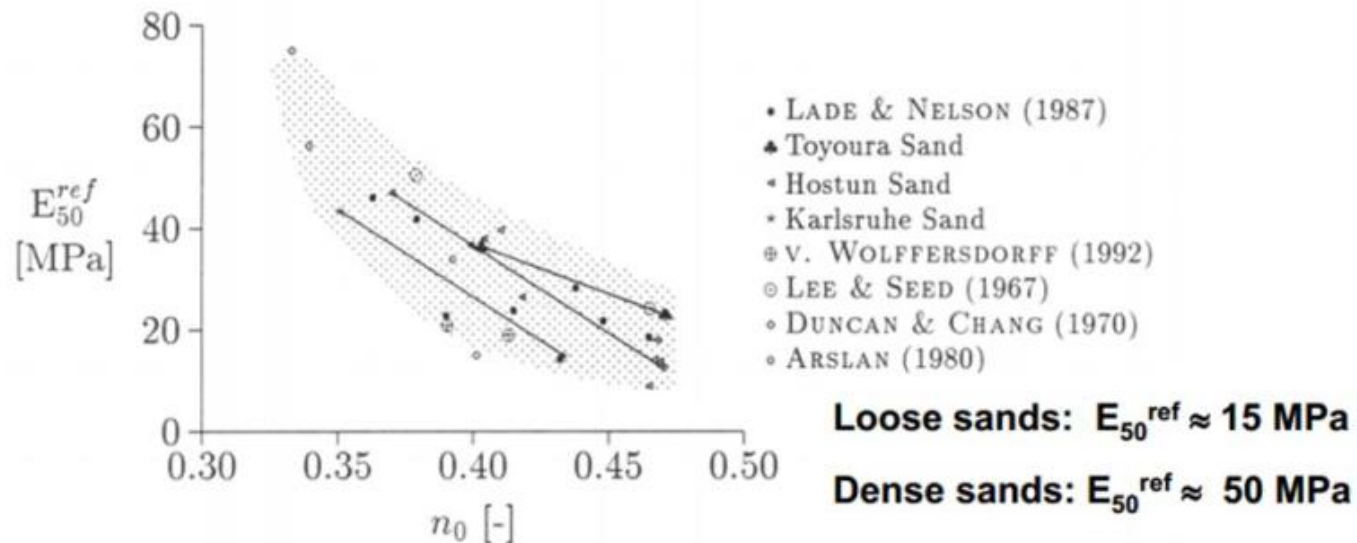


Schanz (1998)

Fra «COMPUTATIONAL GEOTECHNICS», Plaxis kurs.

Drenert stivhetsmodul for sand

Korrelasjoner:



Fra «COMPUTATIONAL GEOTECHNICS», Plaxis kurs.

Drenert stivhetsmodul for leire

Bløtt NC leire: $E_{oed}^{ref} \approx 1 \text{ MPa}$

NC: $E_{ur}^{ref} \approx (15 - 20) \times E_{oed}^{ref}$

Fast NC leire: $E_{oed}^{ref} \approx 3 \text{ MPa}$

OC: $E_{ur}^{ref} \approx (2 - 4) \times E_{oed}^{ref}$

Korrelasjoner:

$$E_{oed}^{ref} \approx \frac{50000 \text{ kPa}}{I_p}$$

Correlation with I_p for $p^{ref}=100 \text{ kPa}$

$$E_{oed}^{ref} \approx \frac{500 \text{ kPa}}{w_L - 0.1}$$

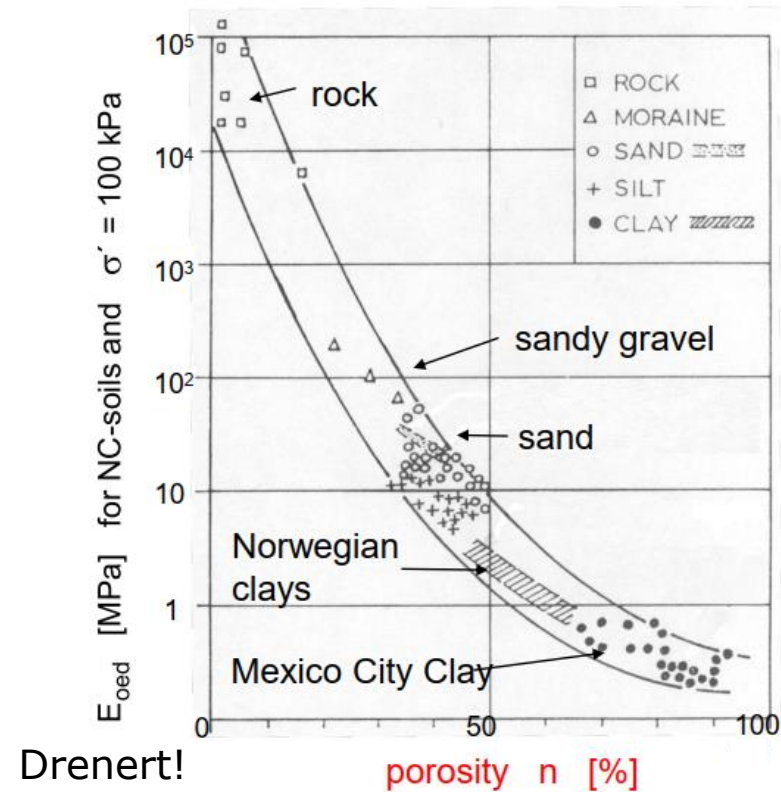
Correlation by Vermeer

$$E_{oed}^{ref} = p^{ref} / \lambda^*$$

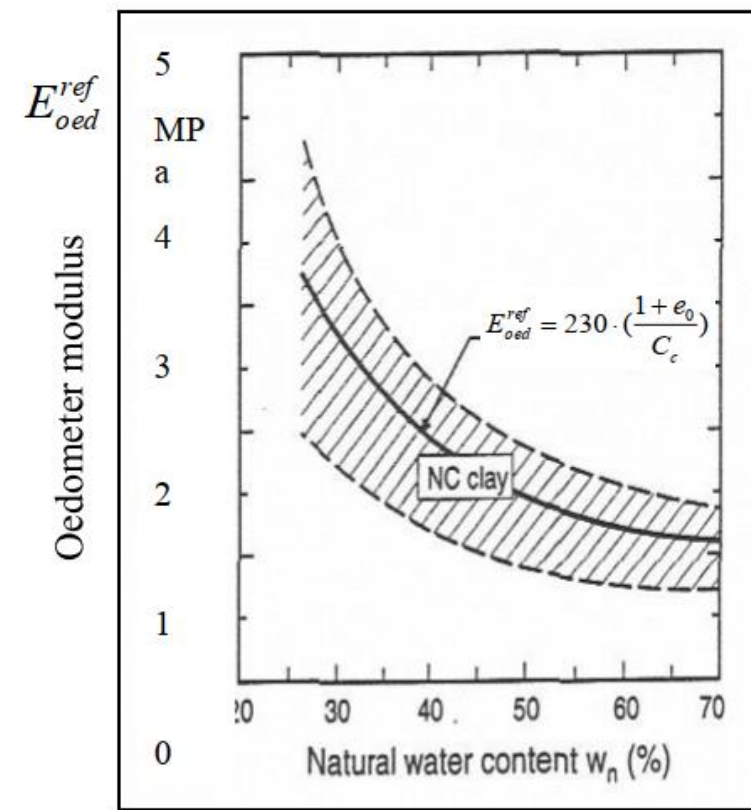
Relationship with Soft Soil model

Drenert stivhetsmodul for leire

Korrelasjoner:



Drenert!



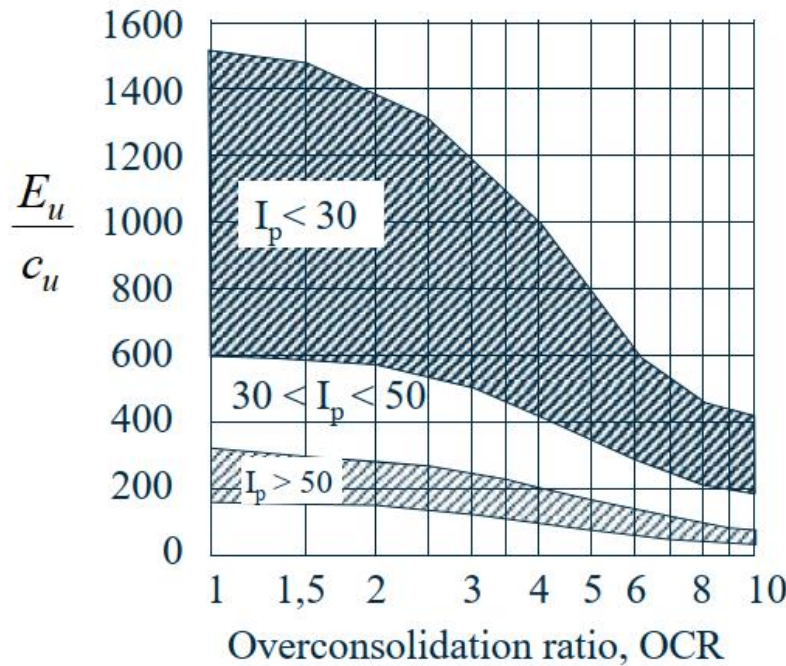
$M \sim E_{oed}$
(M fra ødometer)

Based on Janbu (1963)

Fra «COMPUTATIONAL GEOTECHNICS», Plaxis kurs.

Drenert stivhetsmodul for leire

— Duncan & Buchignani (1976):



Fra «COMPUTATIONAL GEOTECHNICS», Plaxis kurs.

Eksempel:

NC leire:

- $S_u = 30 \text{ kPa}$
- $\text{OCR} = 1,5$
- $I_p = 15\%$

E_u/S_u varierende fra 600 til 1500 !!

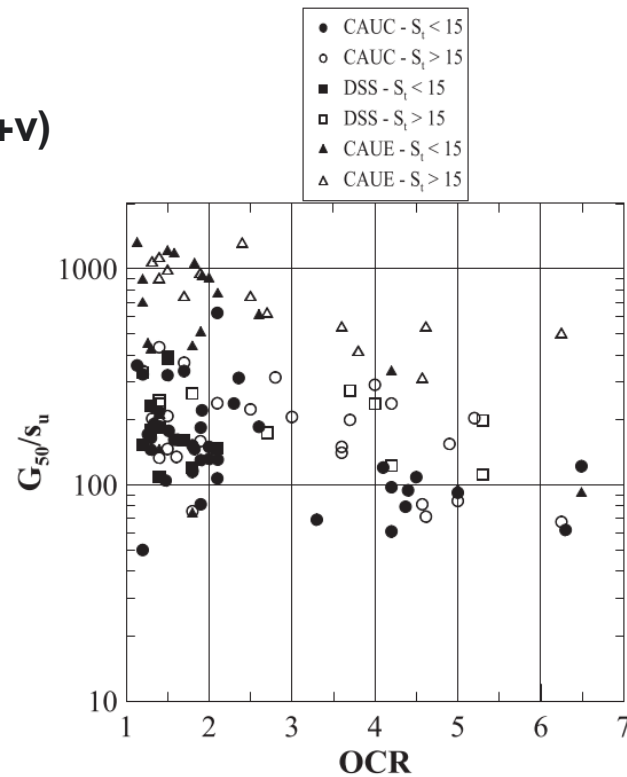
E_u vil variere fra 18 MPa til 45 MPa!!

Drenert stivhetsmodul for leire

- Strength and deformation properties of Norwegian clays from laboratory tests on high-quality block samples - Kjell Karlsrud
(dx.doi.org/10.1139/cgj-2013-0298)

Fig. 33. Values of shear modulus at 50% mobilization normalized to the undrained strength (G_{50}/s_u) in relation to OCR, triaxial tests.

$$E=2G(1+v)$$



Eksempel:

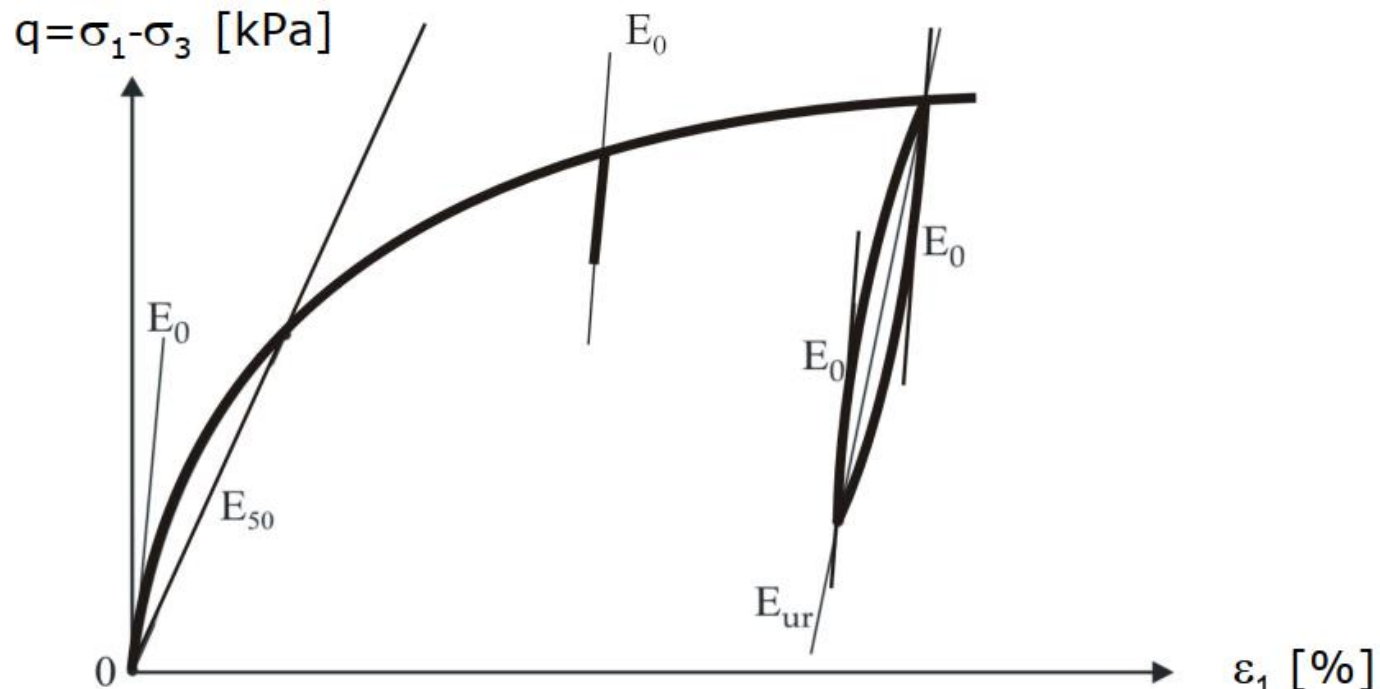
NC leire:

- $s_u = 30 \text{ kPa}$ (S_t under 15)
- $\text{OCR} = 1,5$
- $I_p = 15\%$

G_{50}/s_u varierende fra 100 til 300

G_{50} varier fra 3 MPa til 9 MPa! E_{50} Vil varier fra 8 MPa til 24 MPa

HS small modell



Fra «COMPUTATIONAL GEOTECHNICS», Plaxis kurs.

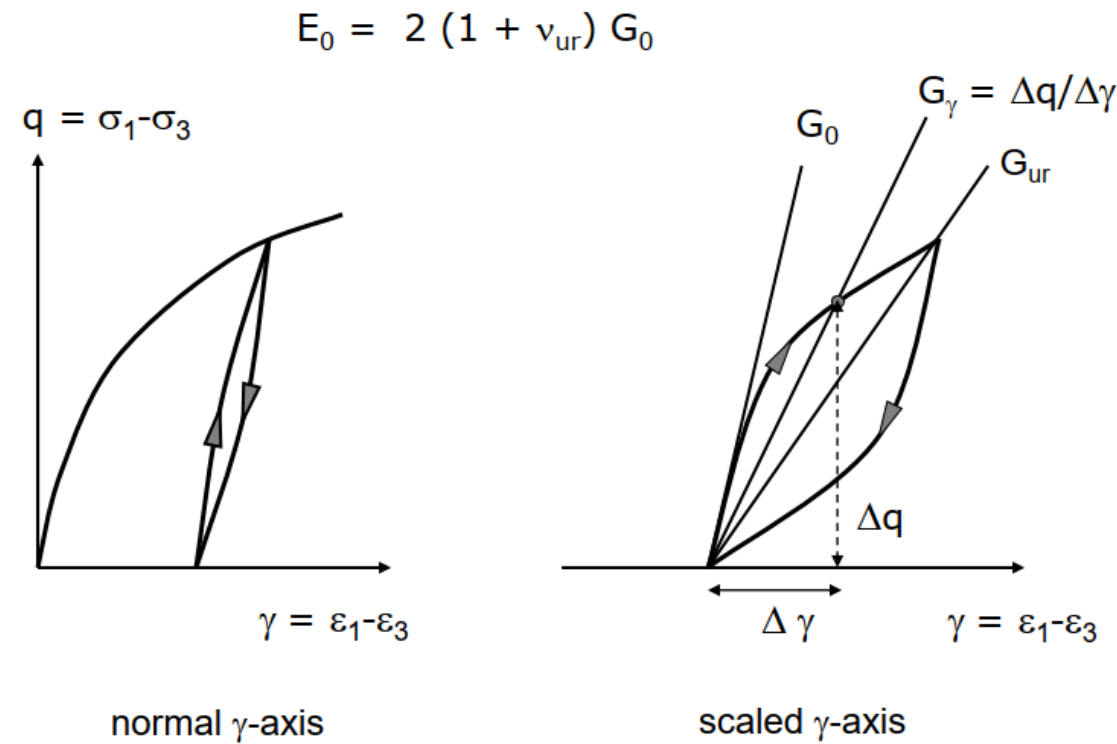
Input parametere til "hardening Soil/ HS small" jordmodell

Parameter	Description
E_{50}^{ref}	Reference secant stiffness from drained triaxial test
E_{oed}^{ref}	Reference tangent stiffness from oedometer test
E_{ur}^{ref}	Reference unloading/reloading stiffness from drained triaxial test
p_{ref}	Reference stress level for which $E_{50} = E_{50}^{ref}$, $E_{oed} = E_{oed}^{ref}$ and $E_{ur} = E_{ur}^{ref}$
m	Power for stress-dependent stiffness
ν_{ur}	Unloading/reloading Poisson's ratio
c'	Effective cohesion
φ'	Effective friction angle
ψ	Dilatancy angle at failure
K_0^{NC}	Ratio between horizontal and vertical stresses at normally consolidated state
G_0^{ref}	Reference Small-strain shear stiffness (HSsmall only)
$\gamma_{0.7}$	Shear strain level where shear stiffness G has reduced to 70% of G_0 (HSsmall only)
K_0 , OCR, POP	Initial stress state parameters (initial stress ratio, overconsolidation)

Referanse: 100 kPa

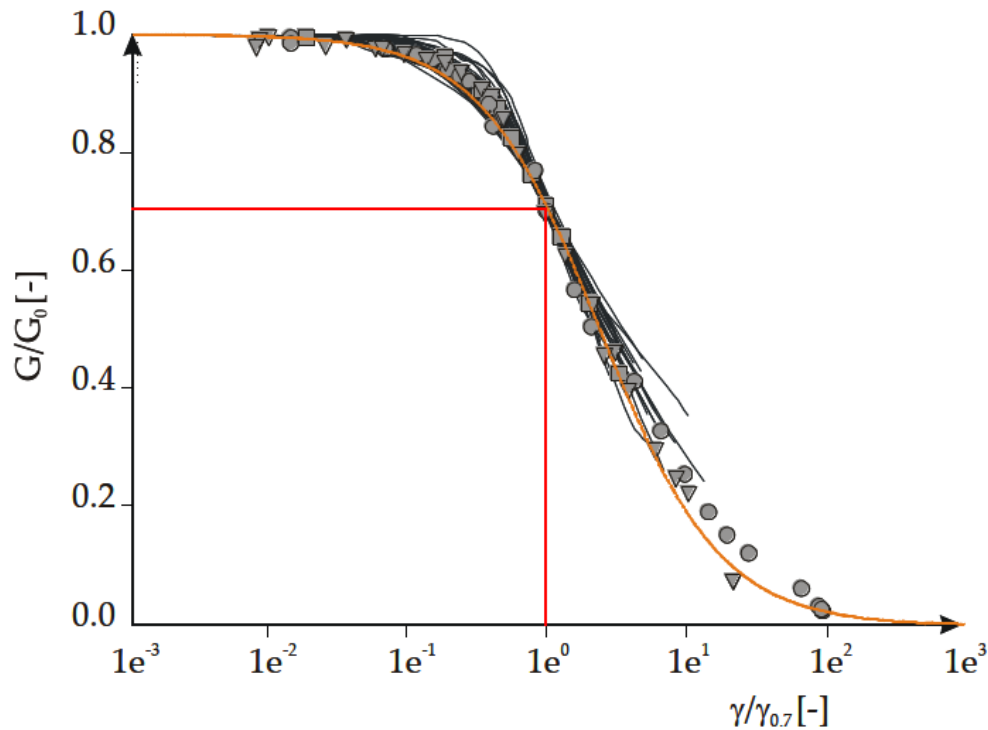
Fra Plaxis kurs/seminar om Hardening Soil

HS small modell



Fra «COMPUTATIONAL GEOTECHNICS», Plaxis kurs.

HS small modell

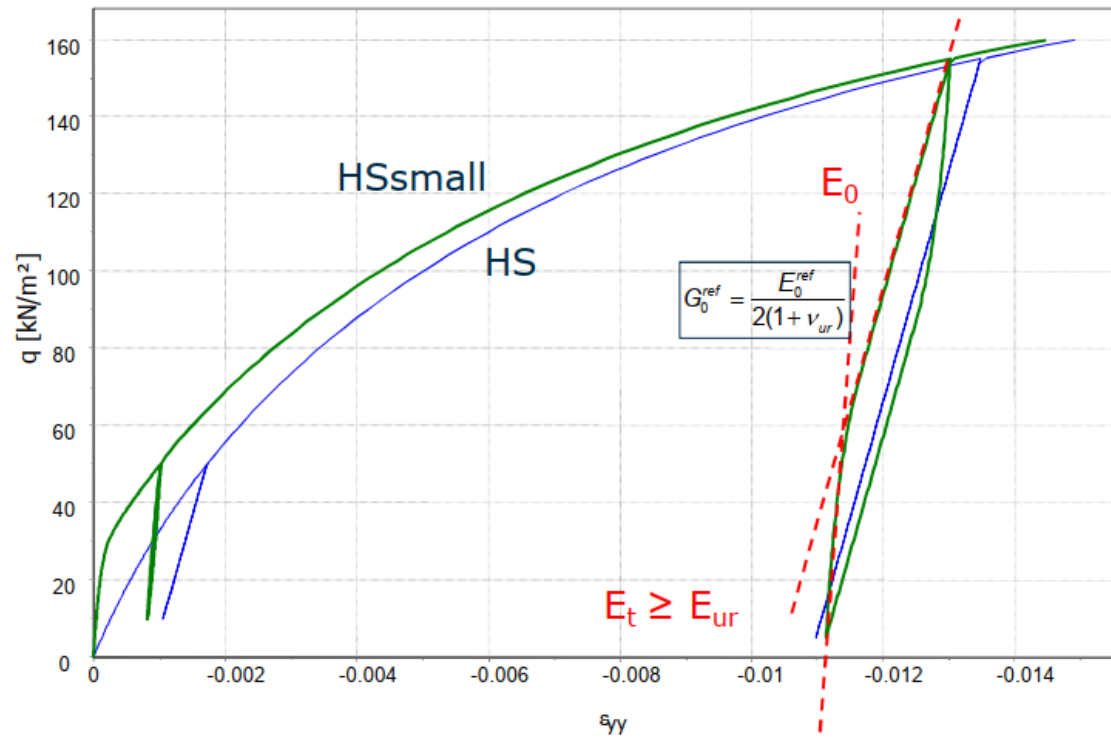


$$G_0^{\text{ref}} = \frac{E_0^{\text{ref}}}{2(1 + \nu_{ur})}$$

Fra «Soil Modelling and Numerical Analyses», AFRY/Chalmers kurs.

HS small modell

Drenert treaks:



FRA PLAXIS KURS/SEMINAR.

Small-strain stivhetsmodul for HS small

Korrelasjoner:

$$G_0^{ref} = \frac{(2.97-e)^2}{1+e} 33 [MPa] \quad \text{Harding & Black (1969)}$$

$$G_0^{ref} \approx RD \cdot 70 MPa + 60 MPa \quad \text{Lengkeek}$$

$$\gamma_{0.7} = \frac{0.385}{4G_0} [2c(1 + \cos(2\phi)) - \sigma_1(1 + K_0) \sin(2\phi)] \quad \text{Benz (2007)}$$

Typiske verdier:

$$G_0^{ref} = (2.5 \text{ to } 10) G_{ur}^{ref} \quad \text{where} \quad G_{ur}^{ref} = \frac{E_{ur}^{ref}}{2(1+\nu_{ur})}$$

$$\gamma_{0.7} = (1 \text{ to } 2) \cdot 10^{-4}$$

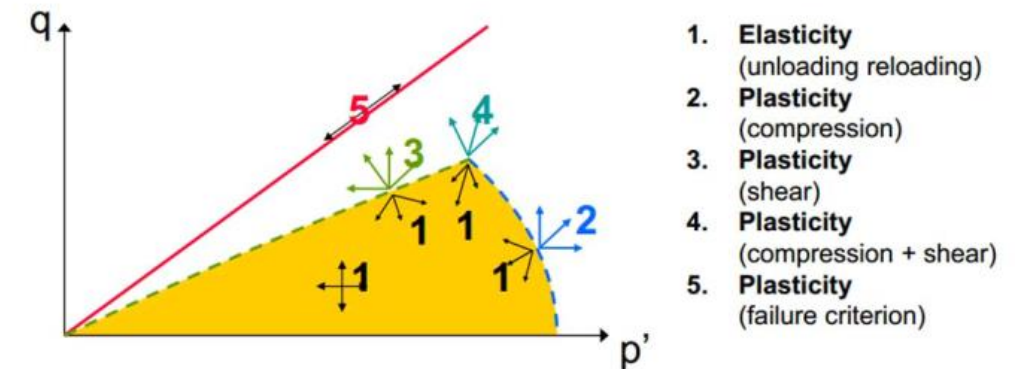
HS/HS Small modell

Deformasjon er styrt av både elastisk deformasjon, Volumetrisk plastisk deformasjon og skjær plastikk deformasjon.

Plaxis bruker inndataparametere for å finne deformasjon som oppstår ved økt spenning.

Dvs. inndata stemmer ikke nødvendigvis med en simulering av treaks/ødometer.

Anbefales å justere parametere mot SoilTest!

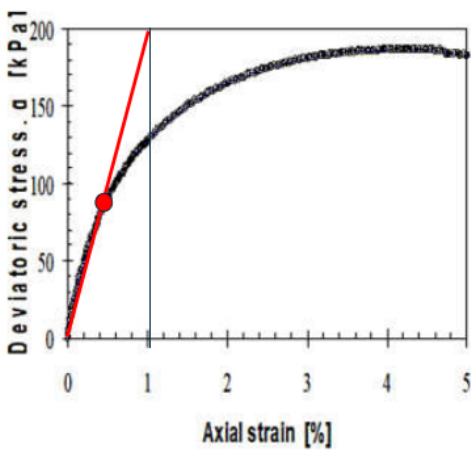


Fra «COMPUTATIONAL GEOTECHNICS», Plaxis kurs.

HS modell: eksempel

eksempel fra Plaxis/Bentley seminar

Treaks på fast Hokksund sand ved 40 kPa – Shaoli, 2004
N= 35,9 % (start) – 39,6% (slut)

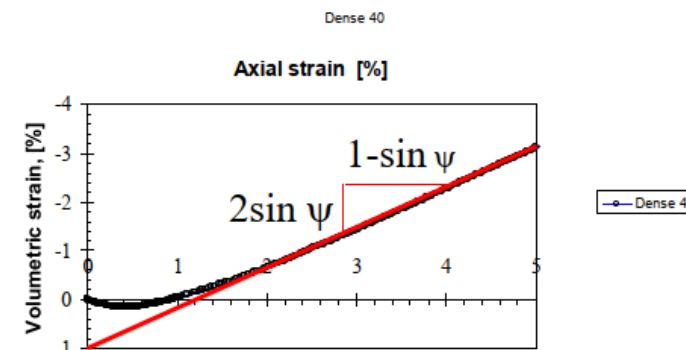


$$E_{50}^{ref} = E_{50} \sqrt{\frac{p_{ref} + a}{\sigma'_x + a}} \\ = 20000 \text{ kPa} \sqrt{\frac{100 \text{ kPa}}{40 \text{ kPa}}} = 32 \text{ MPa}$$

$$\sin(\varphi') = \frac{\sigma'_1 - \sigma'_3}{\sigma'_1 + \sigma'_3} = \frac{185}{225 + 40}$$

$$\varphi' = 44^0$$

Hence,
 $K_0^{NC} \approx 1 - \sin(\varphi') = 0.31$

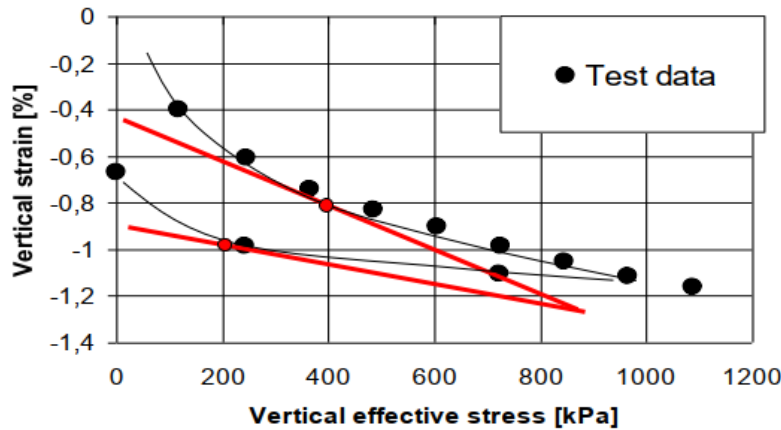


$\frac{1 - \sin \psi}{2 \sin \psi} = \frac{5}{4,2} = 1,2$
 $\sin \psi = 0,29$
 $\psi = 17^0$

HS modell: eksempel

eksempel fra Plaxis/Bentley seminar

Odometer på fast Hokksund sand ved 40 kPa – Morn, 1975



Loading:

$$E_{oed} = E_{oed}^{ref} \sqrt{\frac{\sigma_1' + a}{p_a' + a}}$$

$$\begin{aligned} E_{oed}^{ref} &= E_{oed} \sqrt{\frac{p_a' + a}{\sigma_1' + a}} \\ &= \frac{850 \text{ kPa}}{0,008} \sqrt{\frac{100 \text{ kPa}}{400 \text{ kPa}}} \\ &= 53 \text{ MPa} \end{aligned}$$

Unloading: $E_{ur\ oed} \approx 1.1 \cdot E_{ur}$, $E_{ur} = E_{ur}^{ref} \sqrt{\frac{\sigma_3' + a}{p_a' + a}}$
Low Poisson Ratio

$$\Rightarrow E_{ur}^{ref} \approx 0.9 \cdot E_{ur\ oed} \sqrt{\frac{p_a' + a}{\sigma_3' + a}} = 0.9 \cdot \frac{850 \text{ kPa}}{0,0028} \sqrt{\frac{100}{200}} = 195 \text{ MPa}$$

HS modell: eksempel

eksempel fra Plaxis/Bentley seminar

SoilTest med tolkede parametere og gjennom Trial and error, kan man få verdier som blir like for laboratorieforsøk og HS jordmodell.

Her:

$$E_{50}^{\text{ref}} = 35 \text{ MPa} \text{ (estimated } 32 \text{ MPa)}$$

$$E_{\text{oed}}^{\text{ref}} = 45 \text{ MPa} \text{ (estimated } 53 \text{ MPa)}$$

$$E_{\text{ur}}^{\text{ref}} = 180 \text{ MPa} \text{ (estimated } 195 \text{ MPa)}$$

$$m = 0,6$$

$$c' = 1 \text{ kPa}$$

$$\phi' = 44^\circ$$

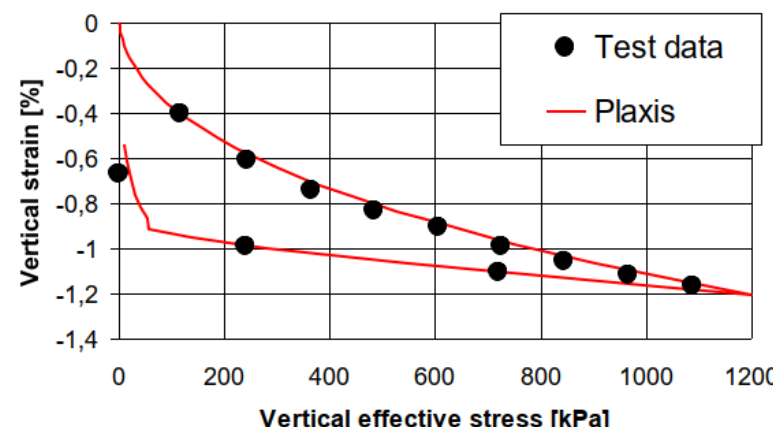
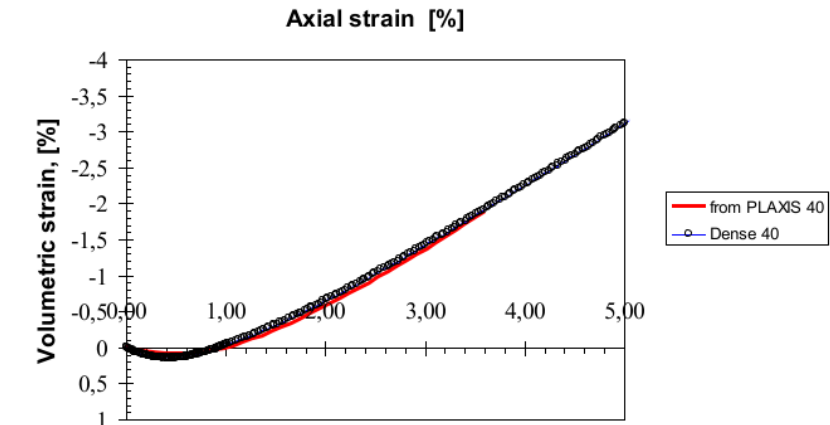
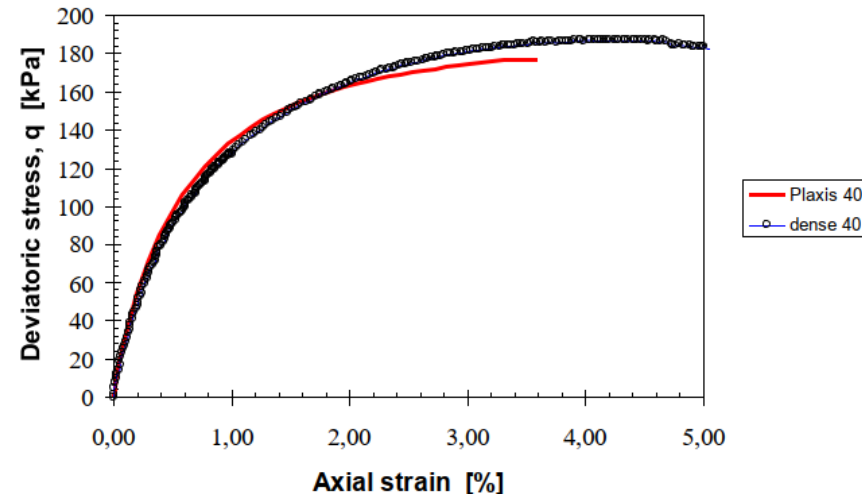
$$\psi = 18^\circ \text{ (estimated } 17^\circ)$$

$$K_0^{\text{NC}} = 0,4$$

$$v'_{\text{ur}} = 0,2$$

HS modell: eksempel

eksempel fra Plaxis/Bentley seminar

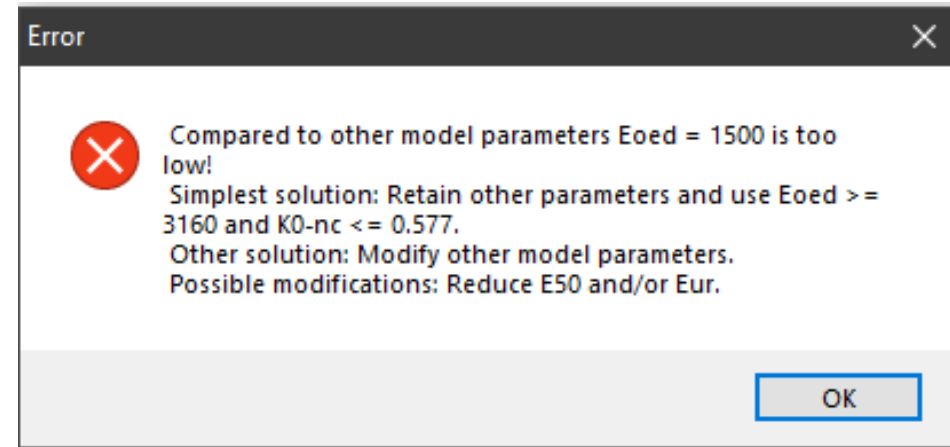


HS/HS Small modell

Ikke alle kombinasjoner av E moduler er tillatt. Dersom E_{50}/E_{oed} er større enn 2, får man en sånn feilmelding:

Et «vanlig» problem for setningsømfintlig leire.

Soft Soil må brukes!

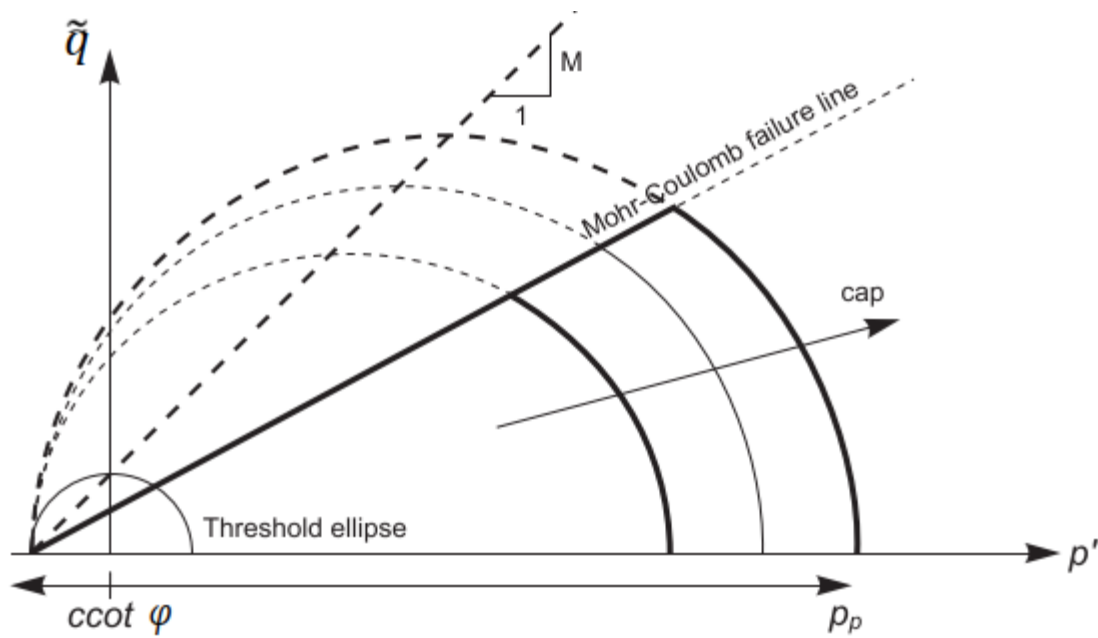


$$\lambda^* = \frac{p^{ref}}{E_{oed}^{ref}}$$

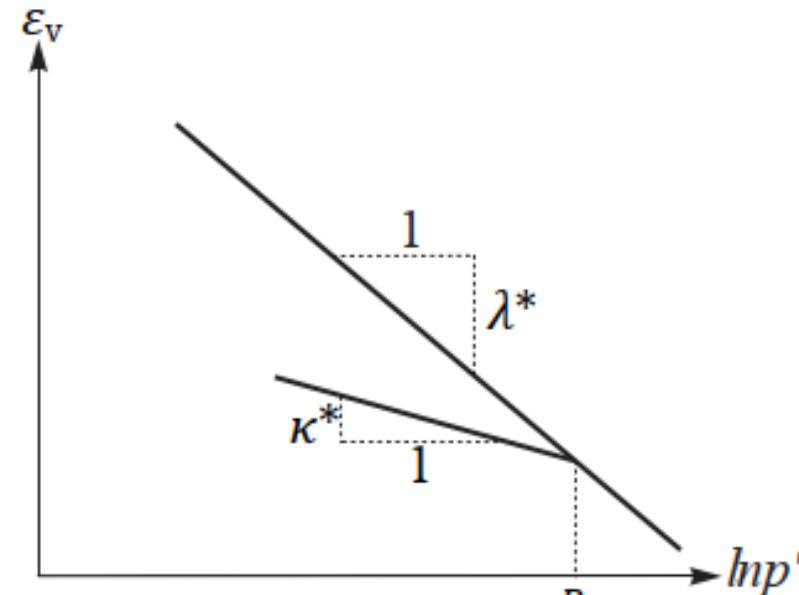
$$\kappa^* \approx 3 \times p_{ref} \times (1 - 2 \cdot v_{ur}) / E_{ur}^{ref}$$

Soft Soil Jordmodell

Basert på «Cam Clay» modell:



Fra Plaxis manualer.



Obs: Naturlig logaritme!

Soft Soil Jordmodell

Inndata:

Basic:

λ^*	Modified compression index	[\cdot]
κ^*	Modified swelling index	[\cdot]
c	Effective cohesion	[kN/m ²]
φ	Friction angle	[$^\circ$]
ψ	Dilatancy angle	[$^\circ$]

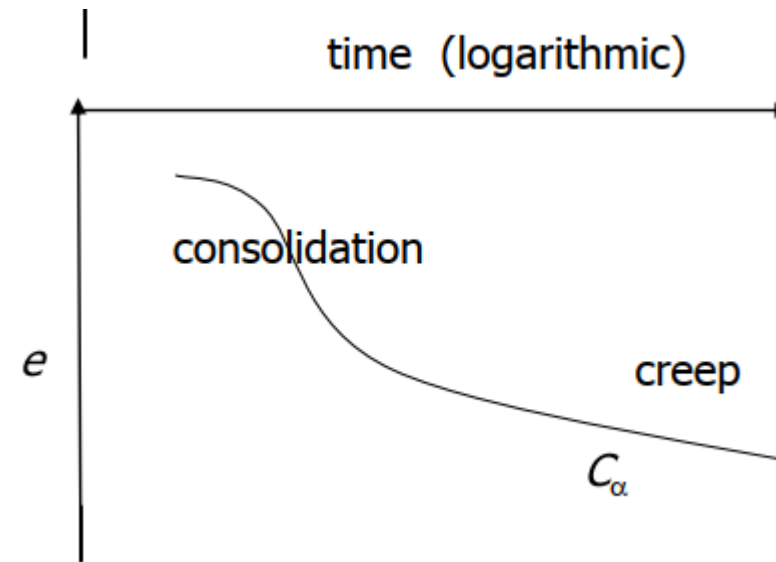
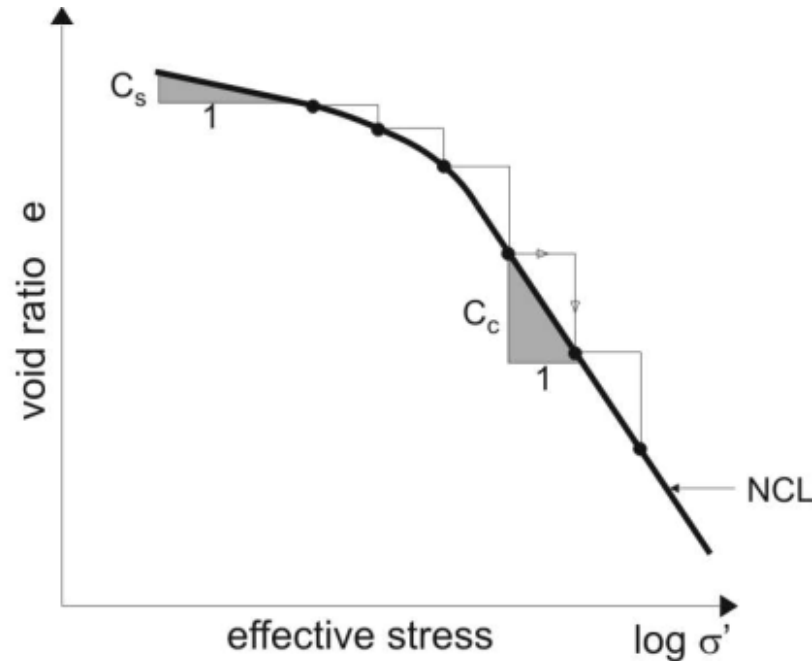
Avansert (bruk default):

ν_{ur}	Poisson's ratio for unloading / reloading	[\cdot]
K_0^{nc}	Coefficient of lateral stress in normal consolidation	[\cdot]
M	K_0^{nc} -parameter	[\cdot]

Fra Plaxis manualer.

Soft Soil Jordmodell

Ødometerforsøk plottes slik i internasjonal litteratur:



$$\kappa^* \approx \frac{2 \times C_s}{2,3 \times (1 + e_0)}$$

$$\lambda^* \approx \frac{C_c}{2,3 \times (1 + e_0)}$$

Det finnes mye korrelasjoner for C_c og C_s ! Nyttig informasjon!

Fra «COMPUTATIONAL GEOTECHNICS», Plaxis kurs.

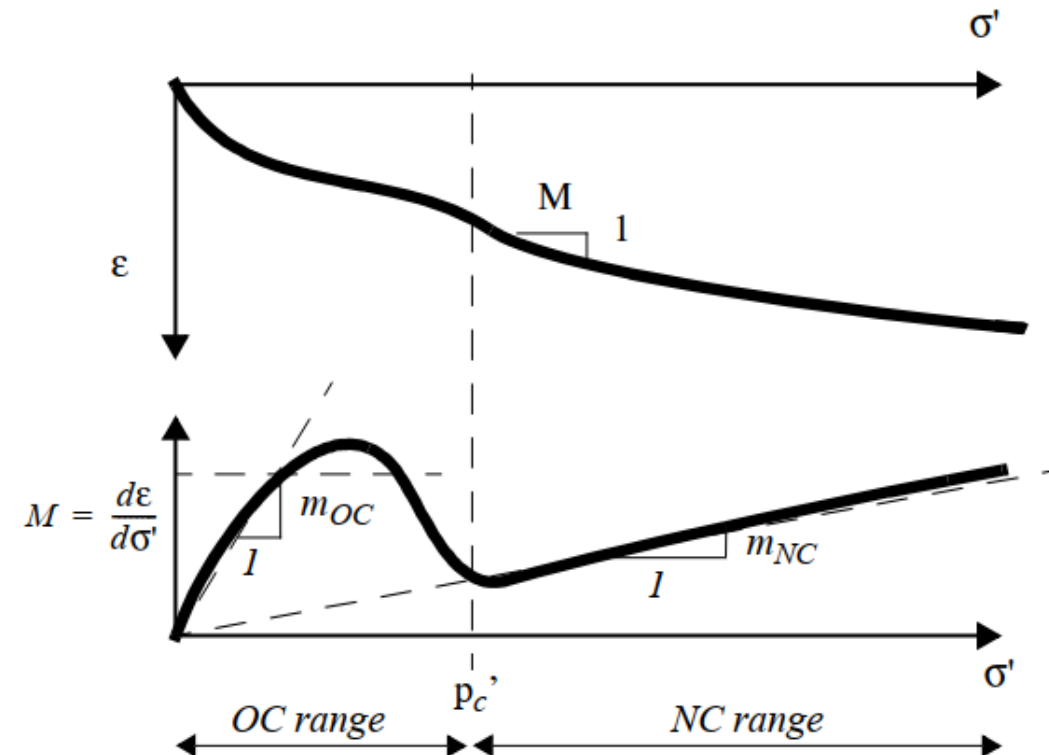
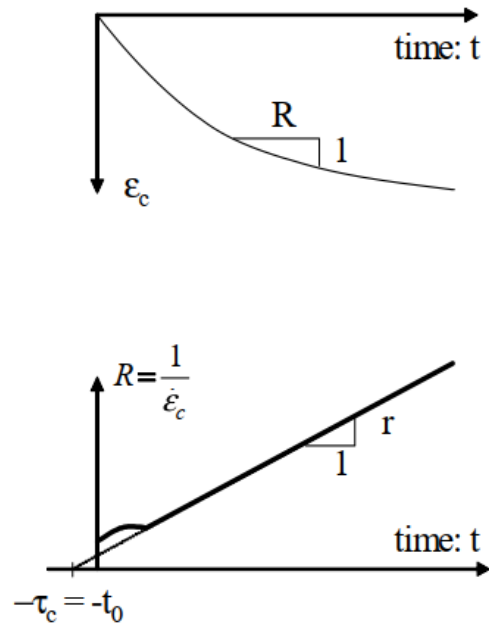
Soft Soil Jordmodell

Ødometerforsøk plottes slik i norsk litteratur:

$$\kappa^* = 1/m_{oc}$$

$$\lambda^* = 1/m_{nc}$$

$$\mu^* = 1/r$$



Fra «Geotechnical engineering, advanced course, NTNU»

Soft Soil Jordmodell

Fremgangsmåte:

1. Tolk parametere for HS modell. Bruk de for et innledende estimat.
2. Tolk odometerforsøkene og sammenlign dem med HS parametere.
3. Kjør «SoilTest» for å se om tolkede parametere stemmer.
4. Iterasjon for å få «riktig» parametere.

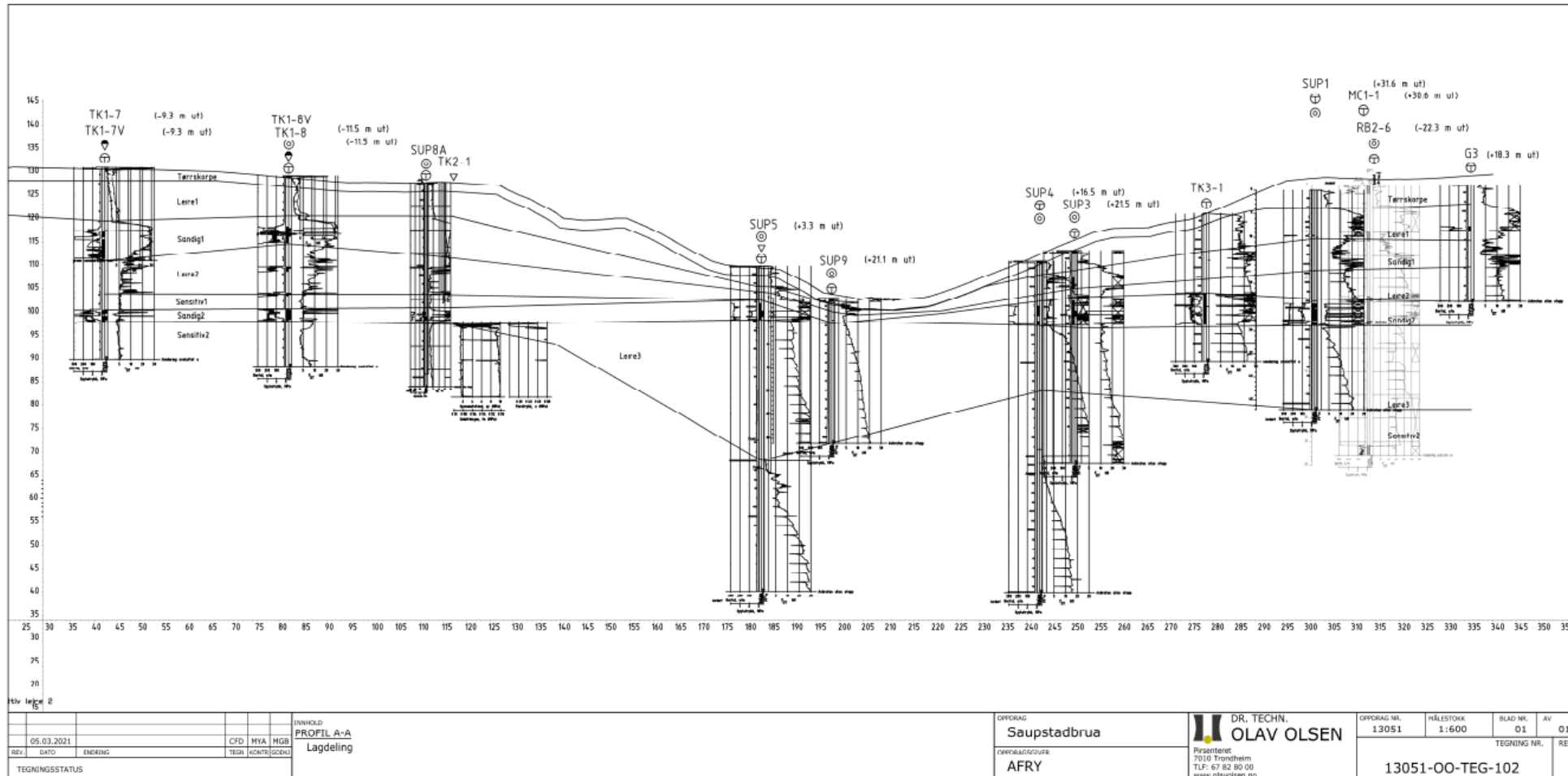
Paramtertolkning fra et prosjekt Saupstad g/s bru

Typisk jordprøve:

RAMBOLL		Sted: Bigerndalen		Oppdrag: 41818	
DATAKORT FOR JORDPRØVER		Boring: 58	Dybde: 512 - 610	Lab.nr.: 08	
w%				Flytegrense	W _f %
35,7	T ₁	18,7		Utnull. grense	W _r %
34,9	T ₁		Jordartbeskrivelse: Leirem, enkelte små gruskorn.	Tyngdetetthet &el syl.γ	18,9 KN/m ³
33,7	T ₁			Prove	18,7 KN/m ³
32,2	T ₁			Densitet ρ _d t/m ³
32,8	T ₂			Poresitet	n %
			Trykksforsok	Poreall	e
			Prove 1 41 8	Humusinnhold %
			" "	Saltinnhold g/l
			Konusforsok	Notater:	
			Prove 1 40 2,9		
			" 2 41 4,2		
			" "		
100cm					

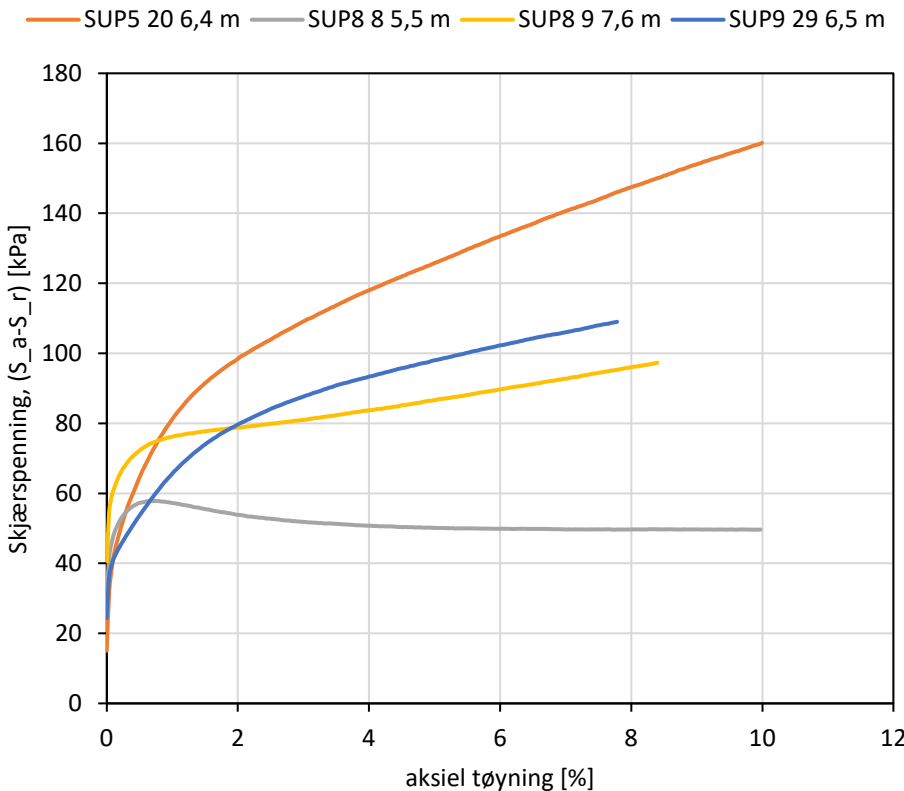
Paramtertolkning: Saupstad g/s bru

Lagdeling:

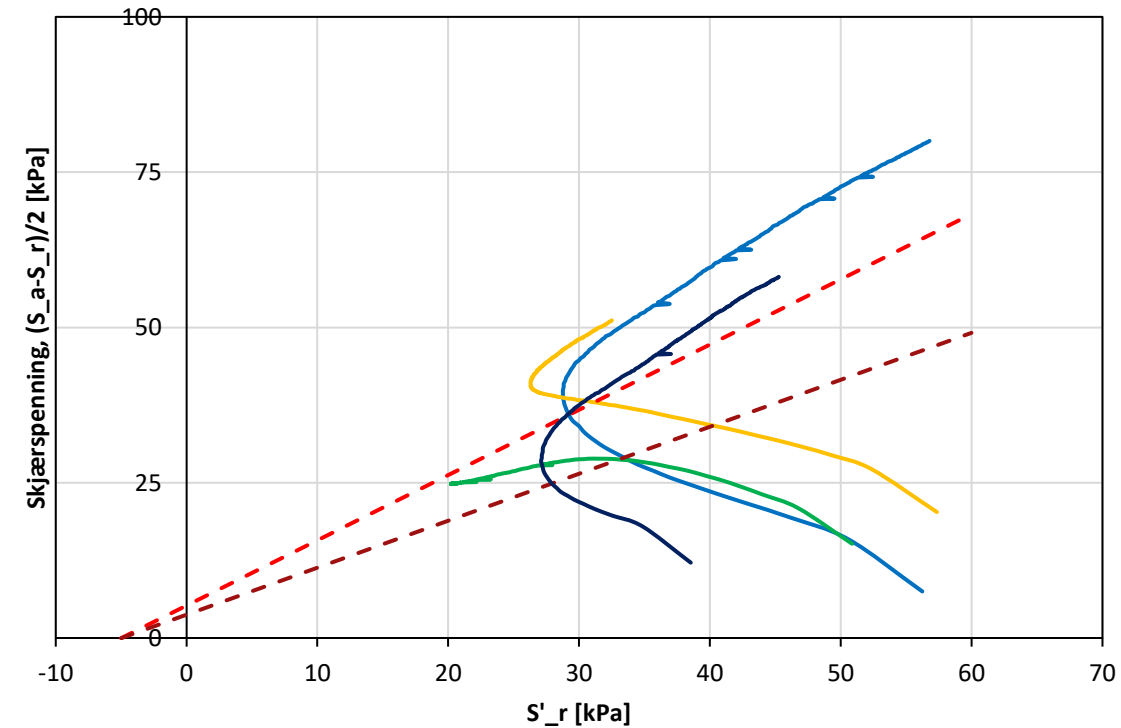


HS modell: eksempel for leire

eksempel fra Saupstadbru prosjektet; "leire 1":



SUP5 20 6,4 m SUP8 9 7,6 m SUP8 8 5,5 m
SUP9 29 6,5 m bruddtakk brukttakk

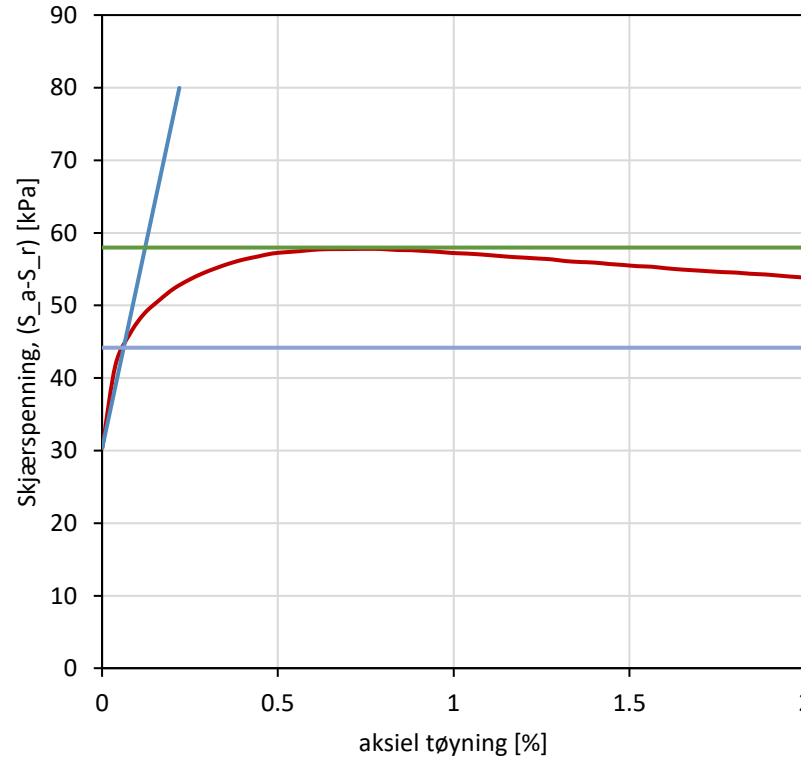


$$\rightarrow a = 5 \text{ kPa} ; \phi = 30,8^\circ$$

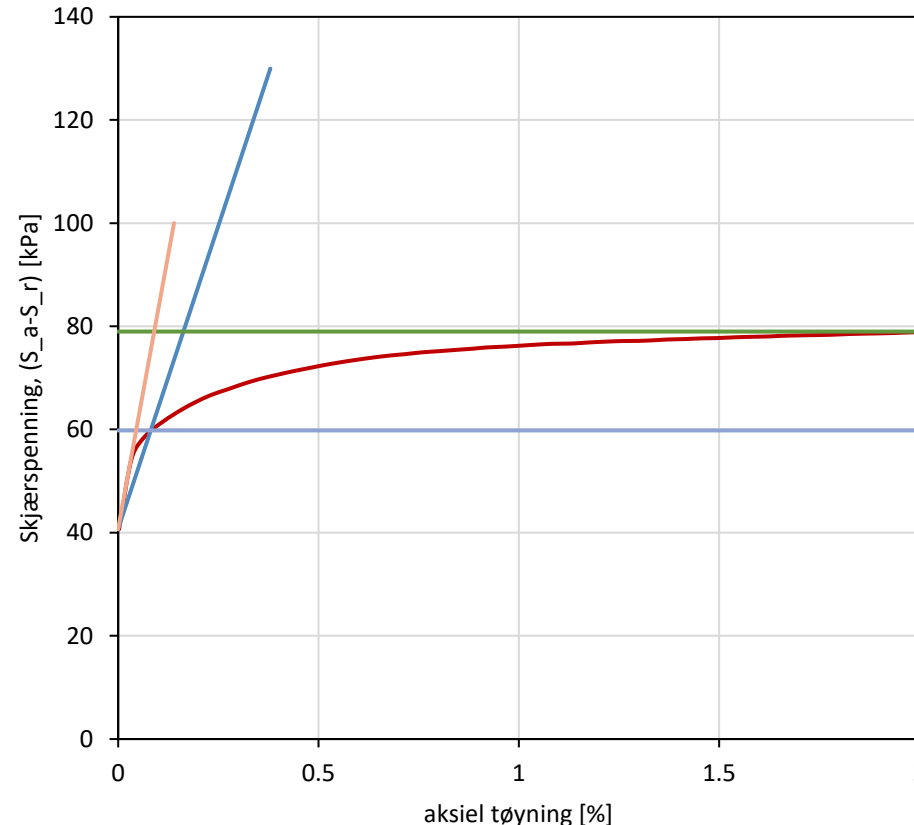
HS modell: eksempel for leire

eksempel fra Saupstadbru prosjektet:

SUP8 8 5,5 m SUP8-5,5m E linje
SUP8-5,5m Su linje SUP8-5,5m 0,5 Su linje



SUP8 9 7,6 m SUP8-7,6m E linje
SUP8-7,6m Su linje SUP8-7,6m 0,5 Su linje
SUP8-7,6m E_maks linje



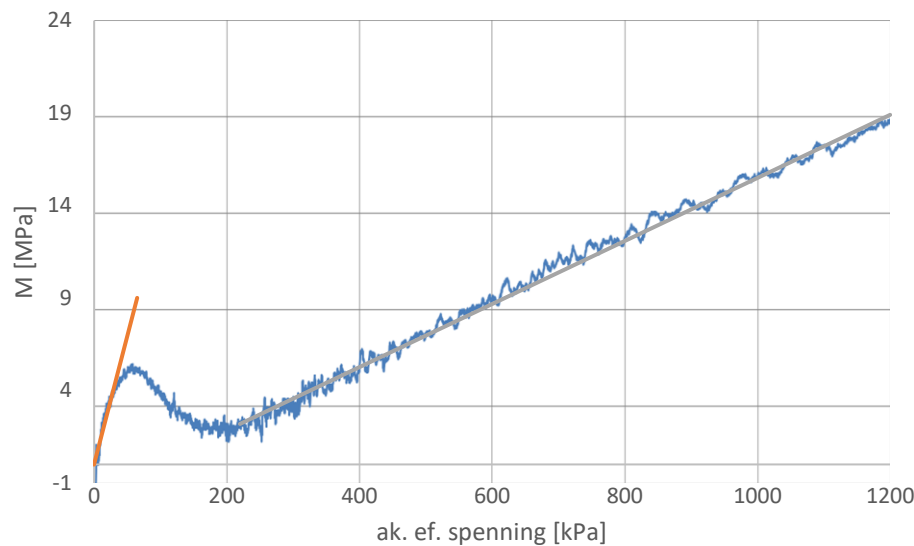
HS modell: eksempel for leire

eksempel fra Saupstadbru prosjektet:

Kvalitet	BH	dybde	S'3	E_modul, u	G_mudul	S_u	G/Su	E'-modul	E_maks	G_maks
[]	[]	[m]	[kPa]	[kPa]	[kPa]	[kPa]	[]	[MPa]	[kPa]	[MPa]
god		5	6.4	56.2	22994.8	7664.9	36.0	212.9	18.4	22994.8
god		8	5.5	50.9	22554.5	7518.2	29.0	259.2	18.0	22554.5
god		8	7.6	57.4	23521.1	7840.4	39.5	198.5	18.8	42414.3
brukbar		9	6.5	38.5	20618.5	6872.8	32.8	209.9	16.5	20618.5

Odometer:

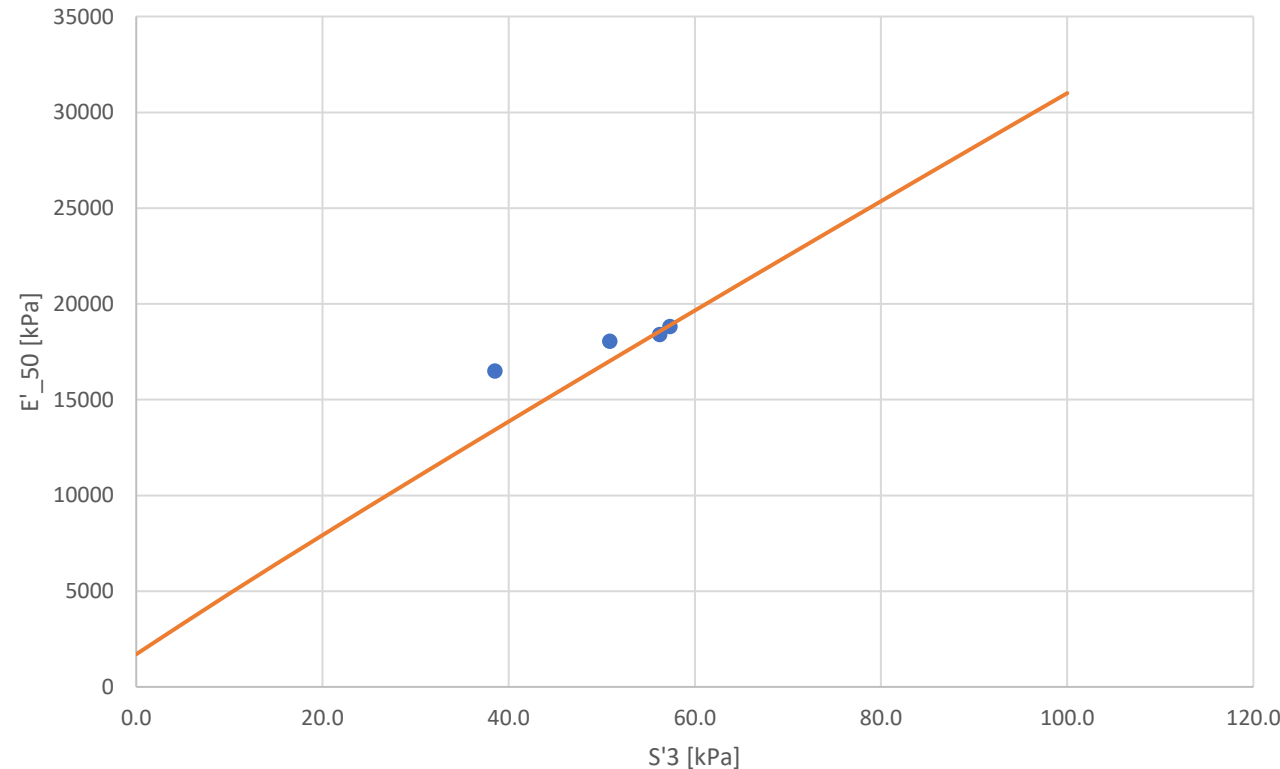
$P'_c \sim 130\text{ kPa}$
 $m_{oc} \sim 138$
 $m_{nc} \sim 17$
 $M = 5 \text{ MPa}$



HS modell: eksempel for leire

eksempel fra Saupstadbru prosjektet:

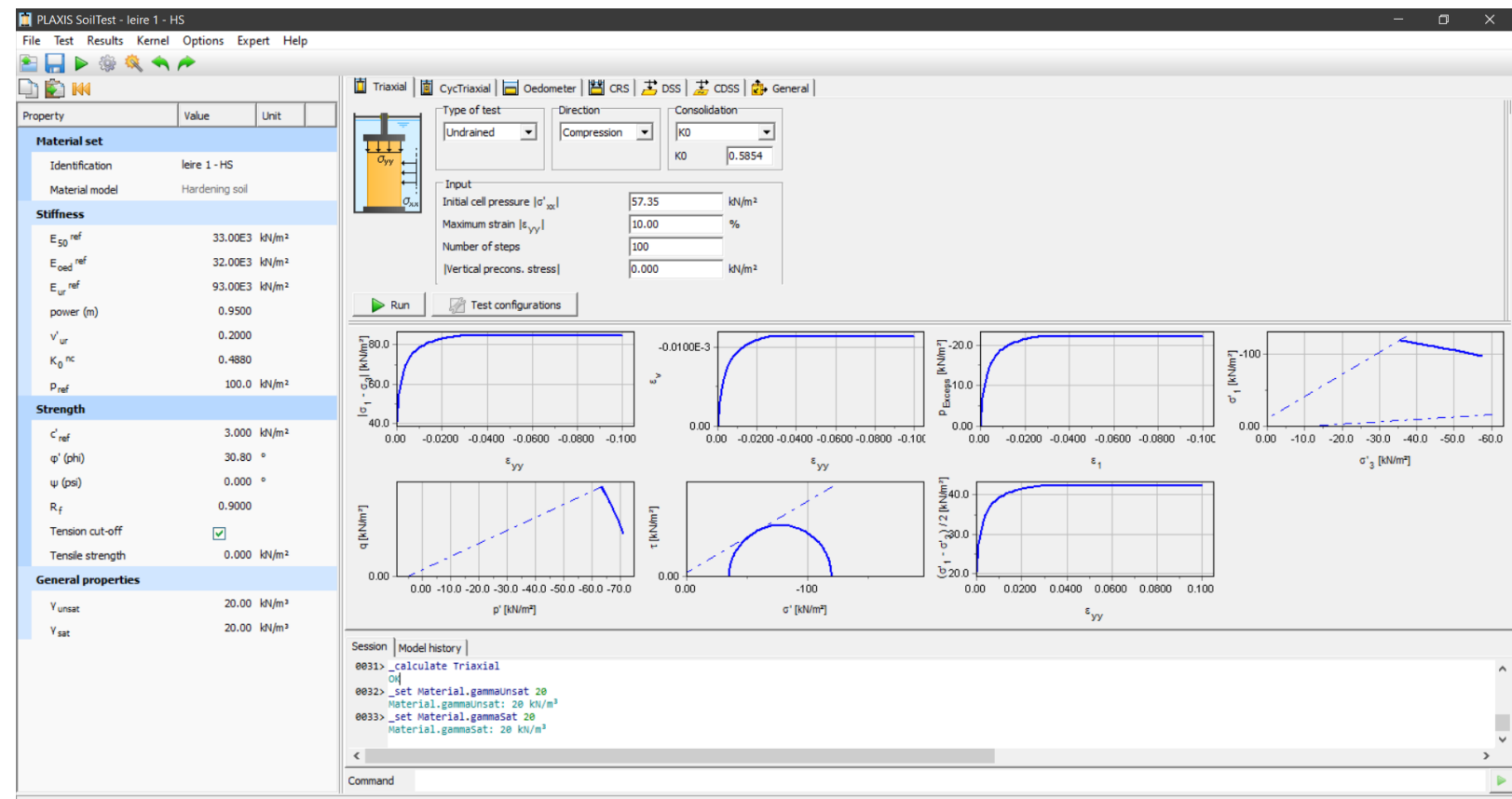
$m \sim 0,95$
 $E'_{50} \sim 31 \text{ MPa}$



HS modell: eksempel for leire

eksempel fra Saupstadbru prosjektet:

SoilTest -> treaks ved
tilsvarende S'_3 og K_0 :

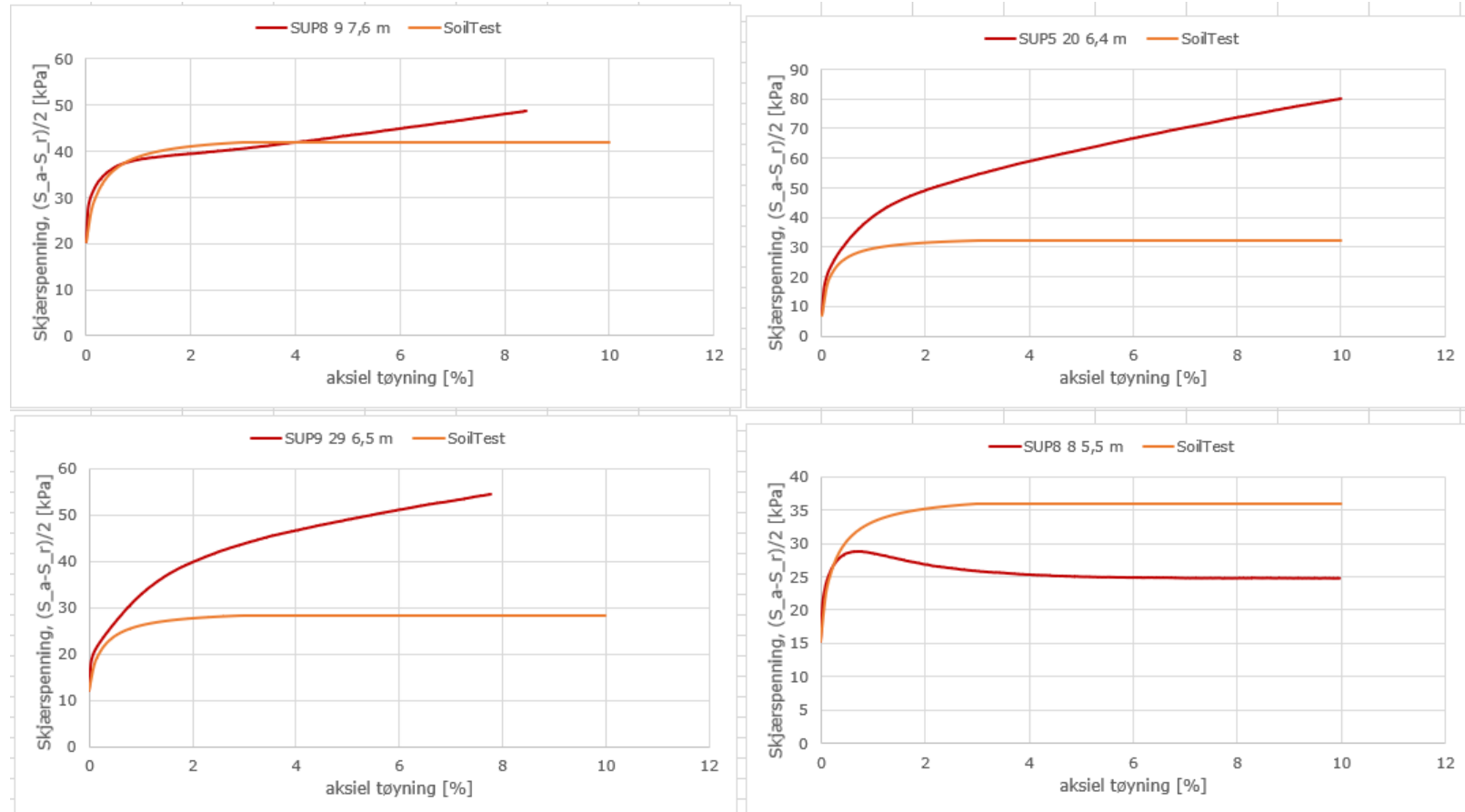


HS modell: eksempel for leire

eksempel fra Saupstadbru prosjektet:

Runde 1:

Litt stivere E_{50} ?

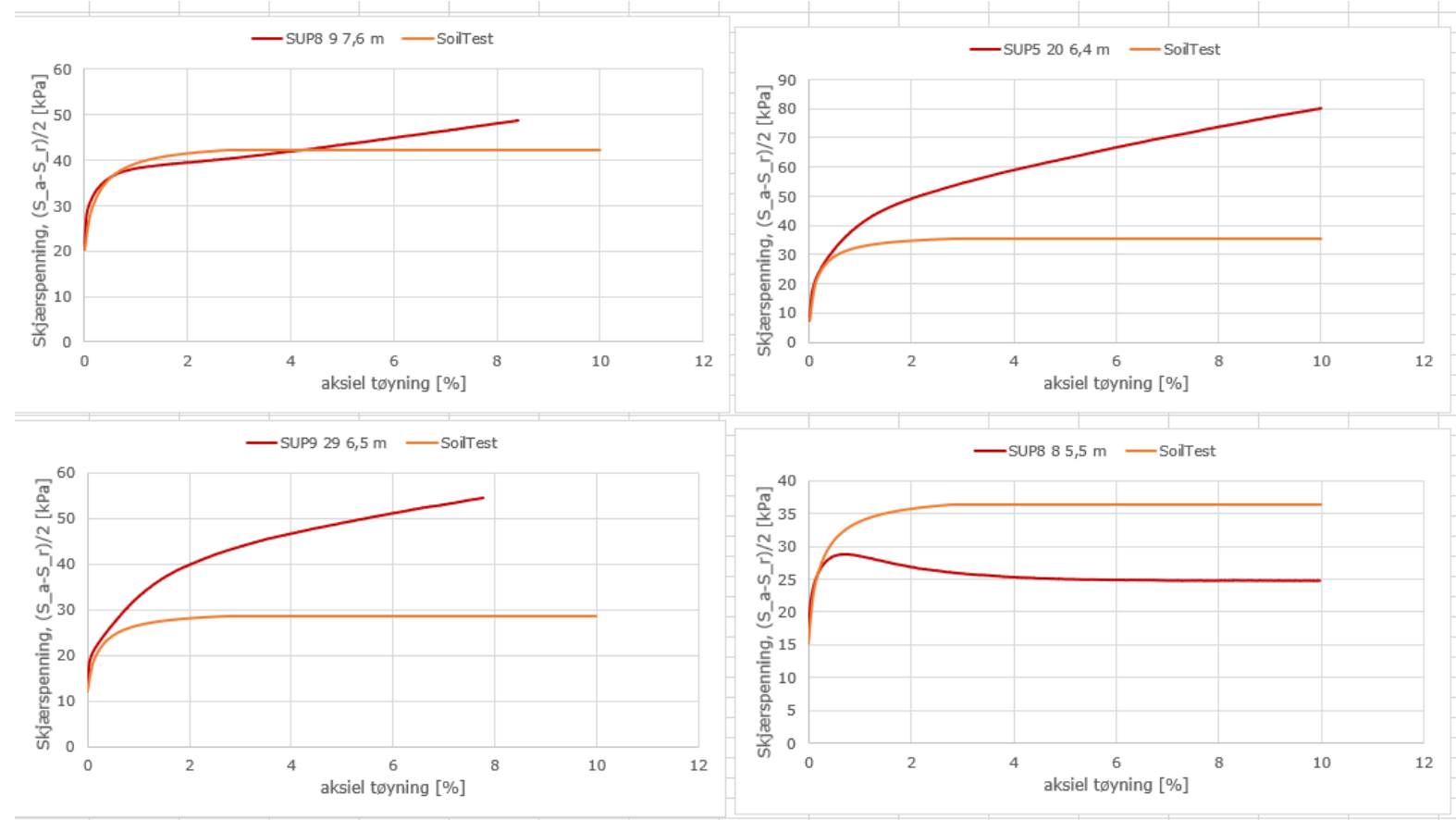


HS modell: eksempel for leire

eksempel fra Saupstadbru prosjektet:

Runde 2:

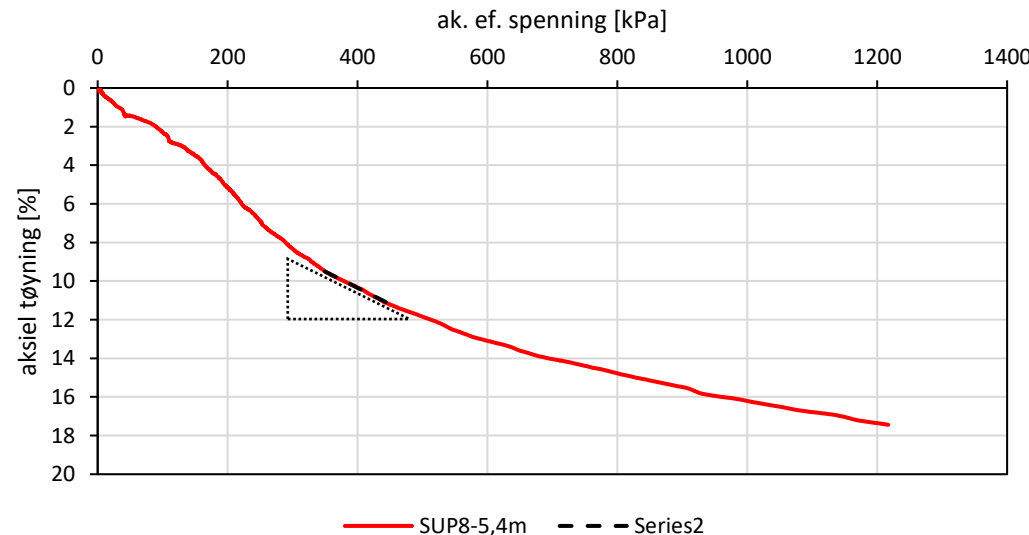
$E_{50} \sim 33 \text{ MPa}$



HS modell: eksempel for leire

eksempel fra Saupstadbru prosjektet:

$E_{oed} \sim 1,2 \text{ MPa} \rightarrow E_{50}/E_{oed}$ større enn 2! Vil gi Feilmelding:



Soft Soil bør brukes!

Alternativ: Tolk E_{oed} først og anta $E_{50} \sim 2x E_{oed}$

HS modell: eksempel for leire

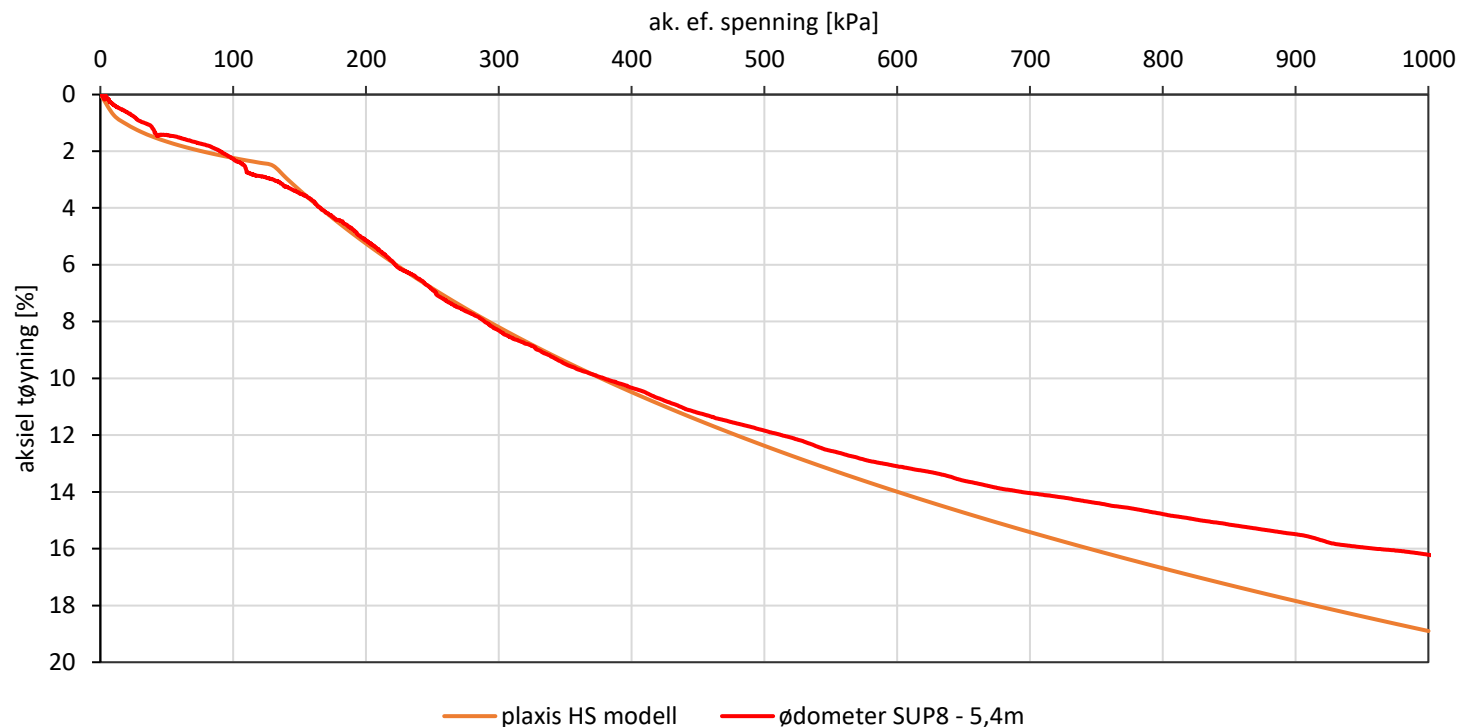
eksempel fra Saupstadbru prosjektet:

$$E_{oed} \sim 1,2 \text{ MPa}$$

$$E_{50} \sim 3,0 \text{ MPa}$$

$$E_{ur} \sim 15 \text{ til } 20 \quad E_{oed} \sim 22 \text{ MPa}$$

Fokus er på 0 – 400 kPa:
Iterasjon med Høyere E_{oed}



HS modell: eksempel for leire

eksempel fra Saupstadbru prosjektet:

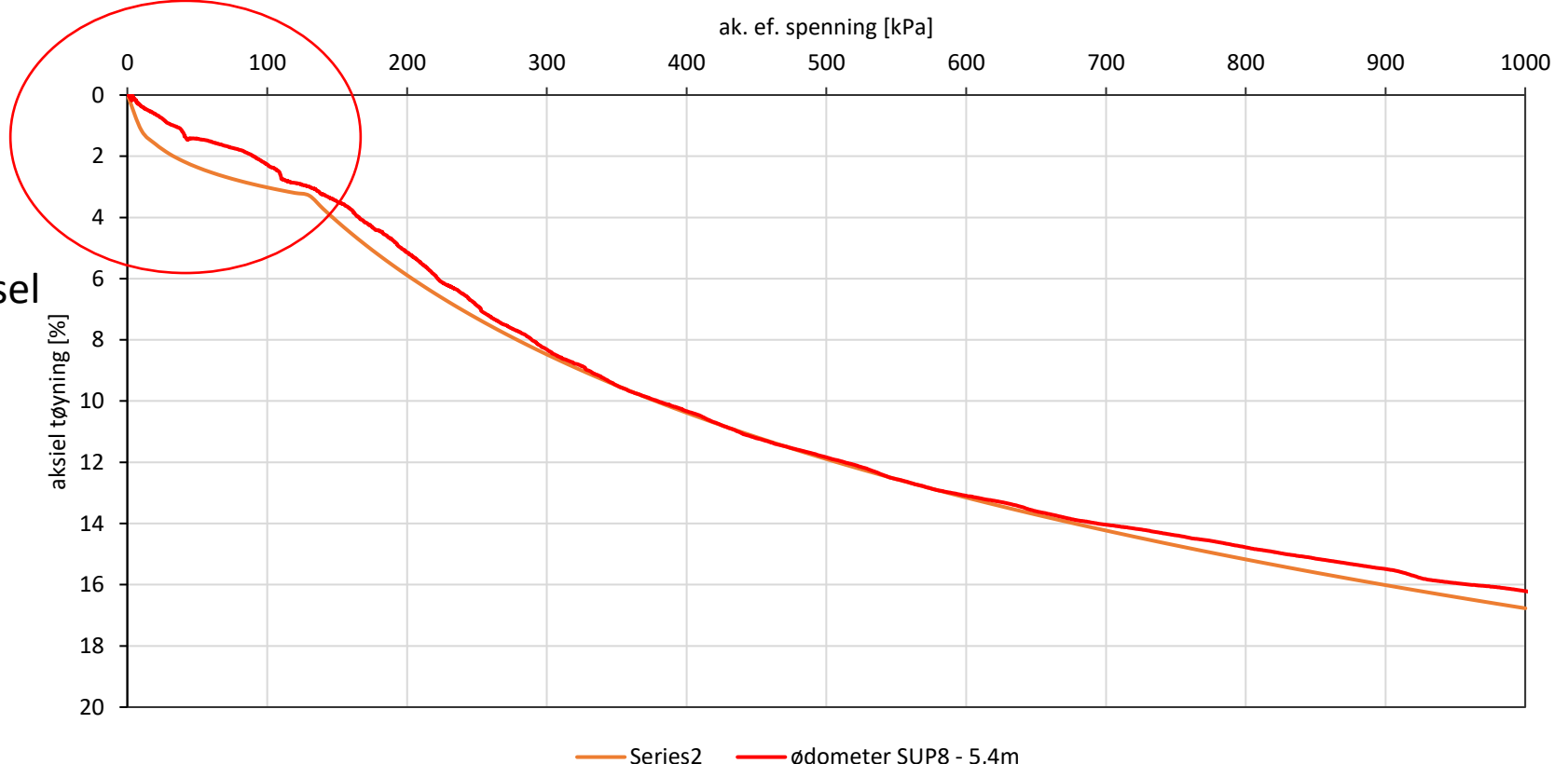
$$E_{oed} \sim 1,6 \text{ MPa}$$

$$E_{50} \sim 2,5 \text{ MPa}$$

$$E_{ur} \sim 22 \text{ MPa}$$

Lavere m vil gi
«flatere» oppførsel

Iterasjon 2 med $m \sim 0,8$



HS modell: eksempel for leire

eksempel fra Saupstadbru prosjektet:

$$E_{oed} \sim 1,2 \text{ MPa}$$

$$E_{50} \sim 3,0 \text{ MPa}$$

$$E_{ur} \sim 22 \text{ MPa}$$

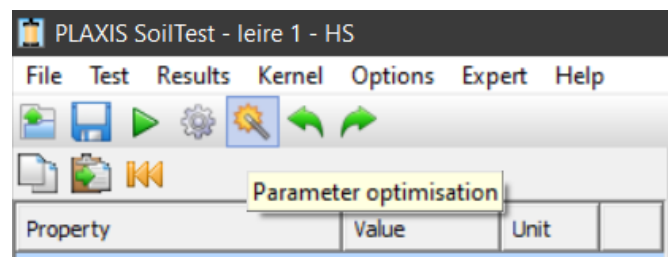
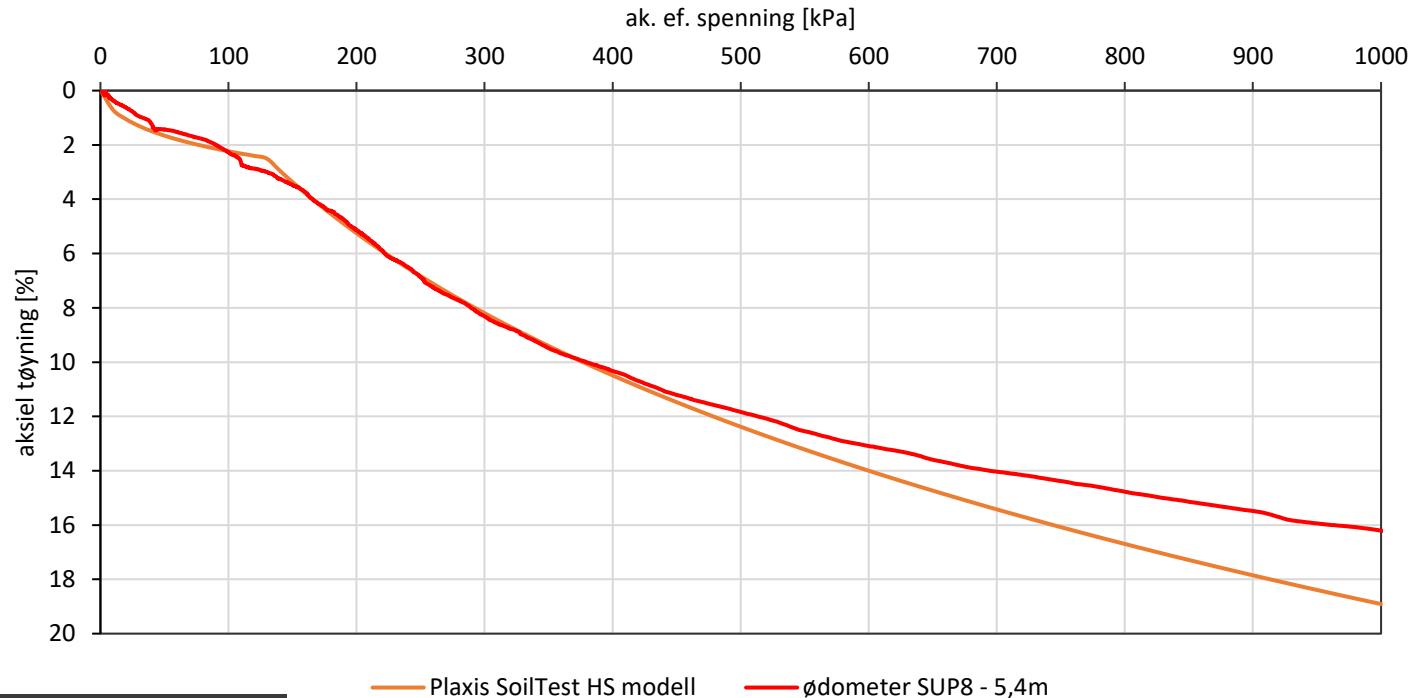
$$m \sim 0,8$$

Bedre oppførsel fra 0 til $P'c$!

God match mellom 0 og 400 kPa

Vurdering: Er det god nok?

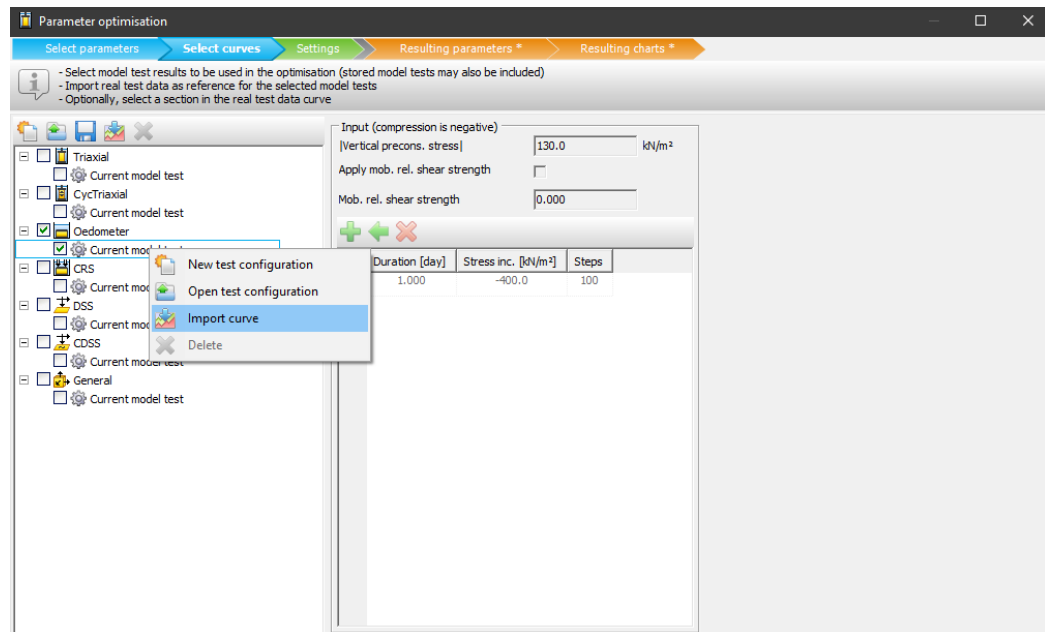
Alternativ:



HS modell: eksempel for leire

eksempel fra Saupstadbru prosjektet:

Optimization verktøy:



I «select curves» kan man importere labforsøkene:

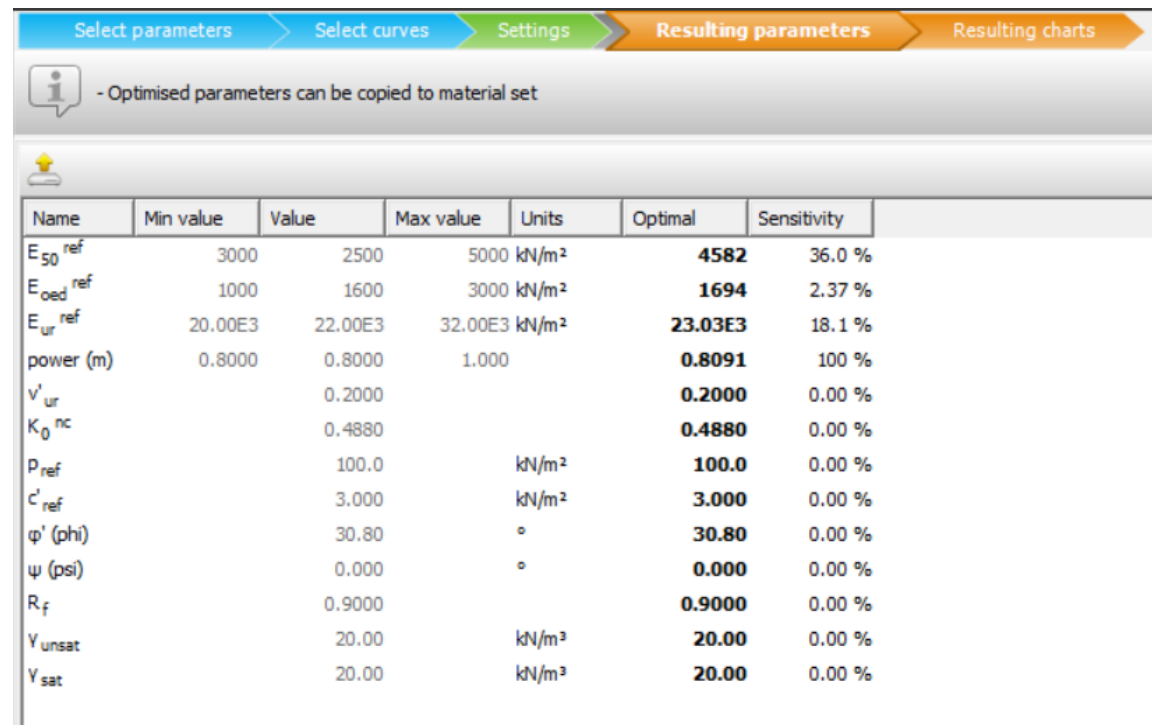
The screenshot shows the 'Parameter optimisation' software interface with the 'Select curves' tab active. A tooltip message says: '- Select parameters to be optimised - Set minimum and maximum values for selected parameters'. The table below lists various parameters with their current values and ranges:

Name	Min value	Value	Max value	Units
E ₅₀ ref	3000	2500	5000	kN/m ²
E _{oed} ref	1000	1600	3000	kN/m ²
E _{ur} ref	20.00E3	22.00E3	32.00E3	kN/m ²
power (n)	0.8000	0.8000	1.000	
V' ur		0.2000		
K ₀ nc		0.4880		
P ref		100.0		kN/m ²
c' ref		3.000		kN/m ²
φ' (phi)		30.80		°
ψ (psi)		0.000		°
R _f		0.9000		
γ unsat		20.00		kN/m ³
γ sat		20.00		kN/m ³

HS modell: eksempel for leire

eksempel fra Saupstadbru prosjektet:

Optimization resultater:



The screenshot shows a software interface for soil parameter optimization. The top navigation bar includes tabs: Select parameters, Select curves, Settings, Resulting parameters (which is highlighted in orange), and Resulting charts. A message box indicates that optimised parameters can be copied to material set. Below the table, there is a small icon of a cloud with a lightning bolt.

Name	Min value	Value	Max value	Units	Optimal	Sensitivity
E_{50}^{ref}	3000	2500	5000	kN/m ²	4582	36.0 %
E_{oed}^{ref}	1000	1600	3000	kN/m ²	1694	2.37 %
E_{ur}^{ref}	20.00E3	22.00E3	32.00E3	kN/m ²	23.03E3	18.1 %
power (m)	0.8000	0.8000	1.000		0.8091	100 %
v'_{ur}		0.2000			0.2000	0.00 %
K_0^{nc}		0.4880			0.4880	0.00 %
p_{ref}		100.0		kN/m ²	100.0	0.00 %
c'_{ref}		3.000		kN/m ²	3.000	0.00 %
$\phi' (\phi)$		30.80		°	30.80	0.00 %
$\psi (\psi)$		0.000		°	0.000	0.00 %
R_f		0.9000			0.9000	0.00 %
γ_{unsat}		20.00		kN/m ³	20.00	0.00 %
γ_{sat}		20.00		kN/m ³	20.00	0.00 %

HS modell: eksempel for leire

eksempel fra Saupstadbru prosjektet:

Optimization resultater:

For ødometer, 0 til 400 kPa

Prekons. På 130 kPa

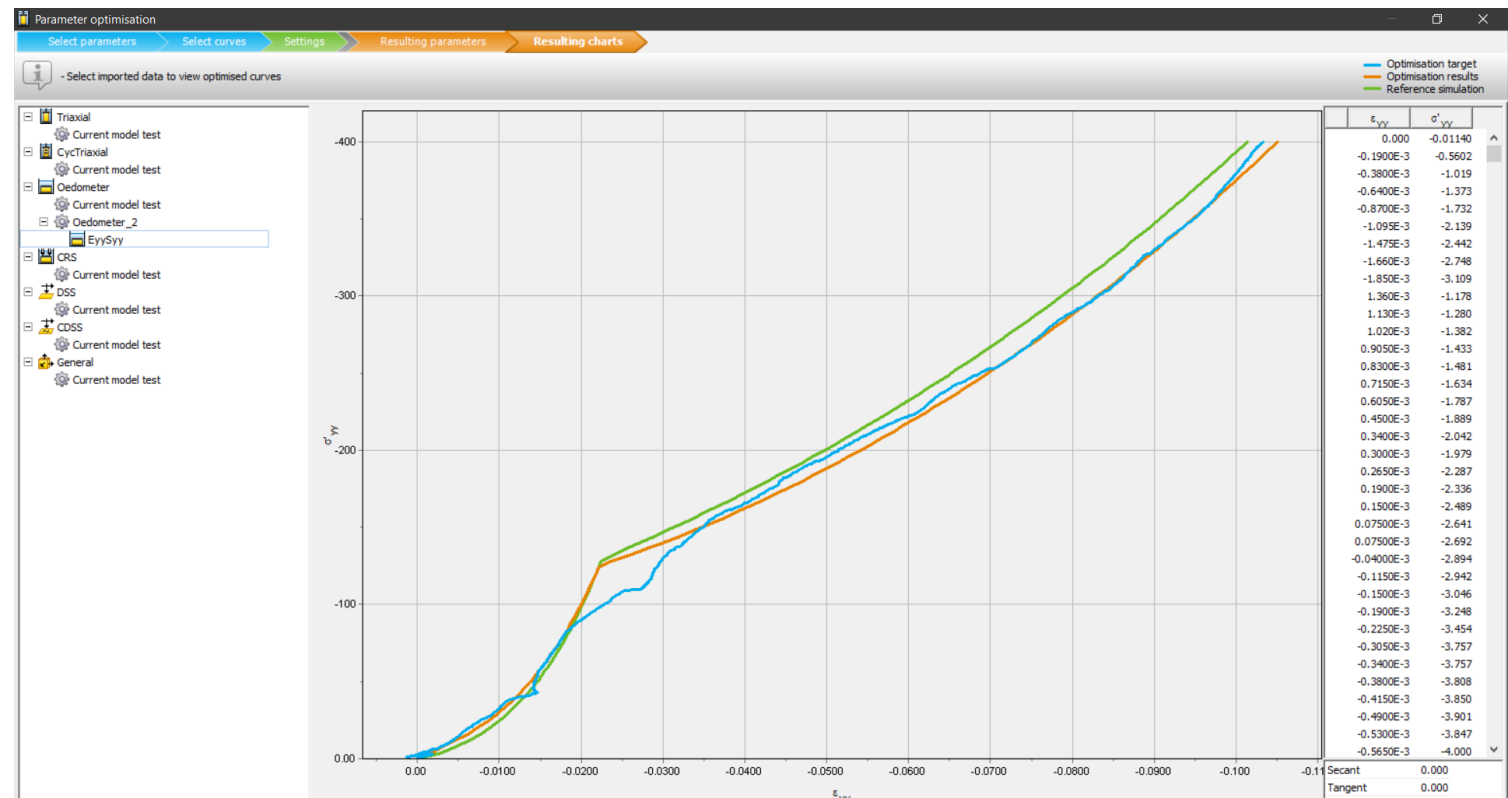
Ender opp med:

$$E_{oed} \sim 1,69 \text{ MPa}$$

$$E_{50} \sim 4,58 \text{ MPa}$$

$$E_{ur} \sim 23 \text{ MPa}$$

$$m \sim 0,81$$



HS modell: eksempel for leire

eksempel fra Saupstadbru prosjektet:

Endte opp med:

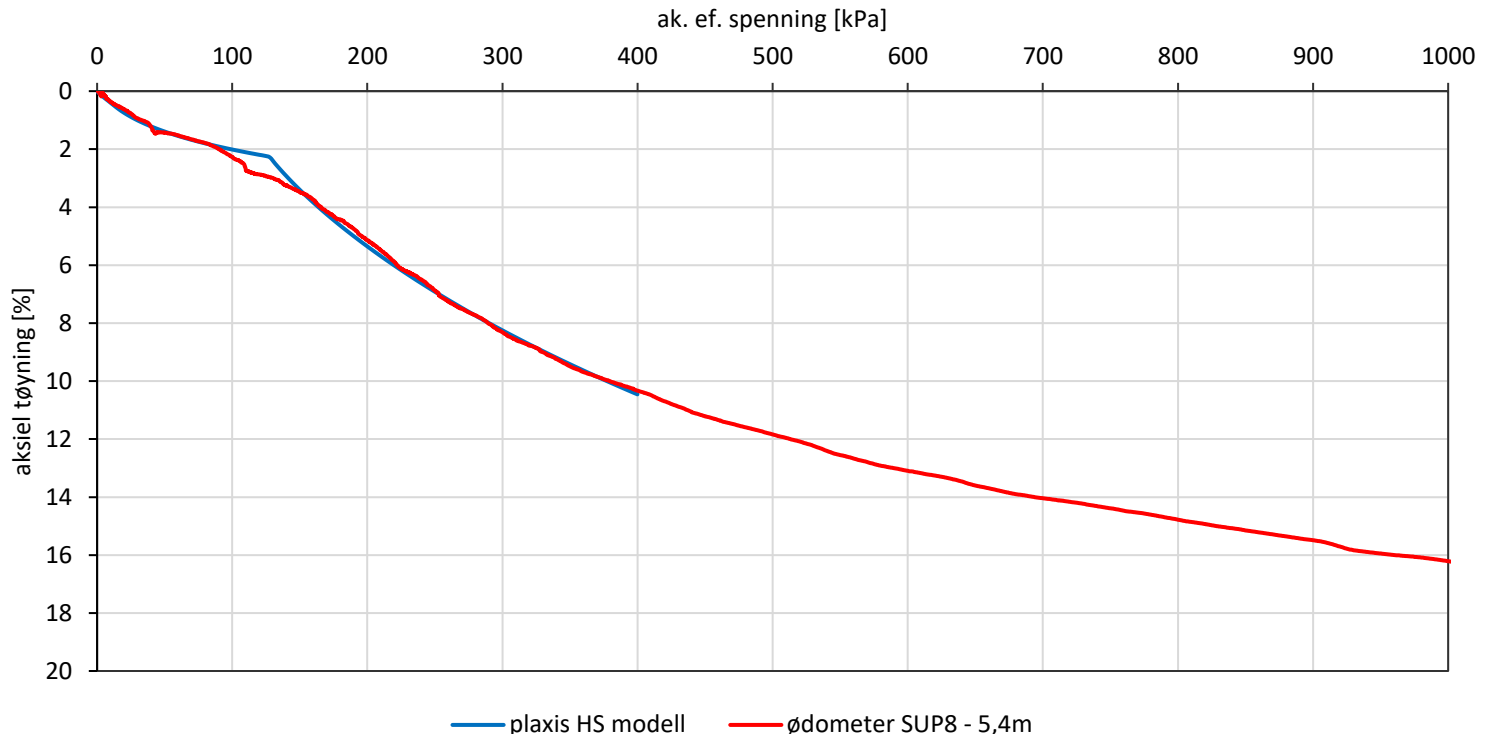
$$E_{oed} \sim 1,69 \text{ MPa}$$

$$E_{50} \sim 4,58 \text{ MPa}$$

$$E_{ur} \sim 23 \text{ MPa}$$

$$m \sim 0,81$$

Hva er «god nok»?
Sensitivitetsanalyser?



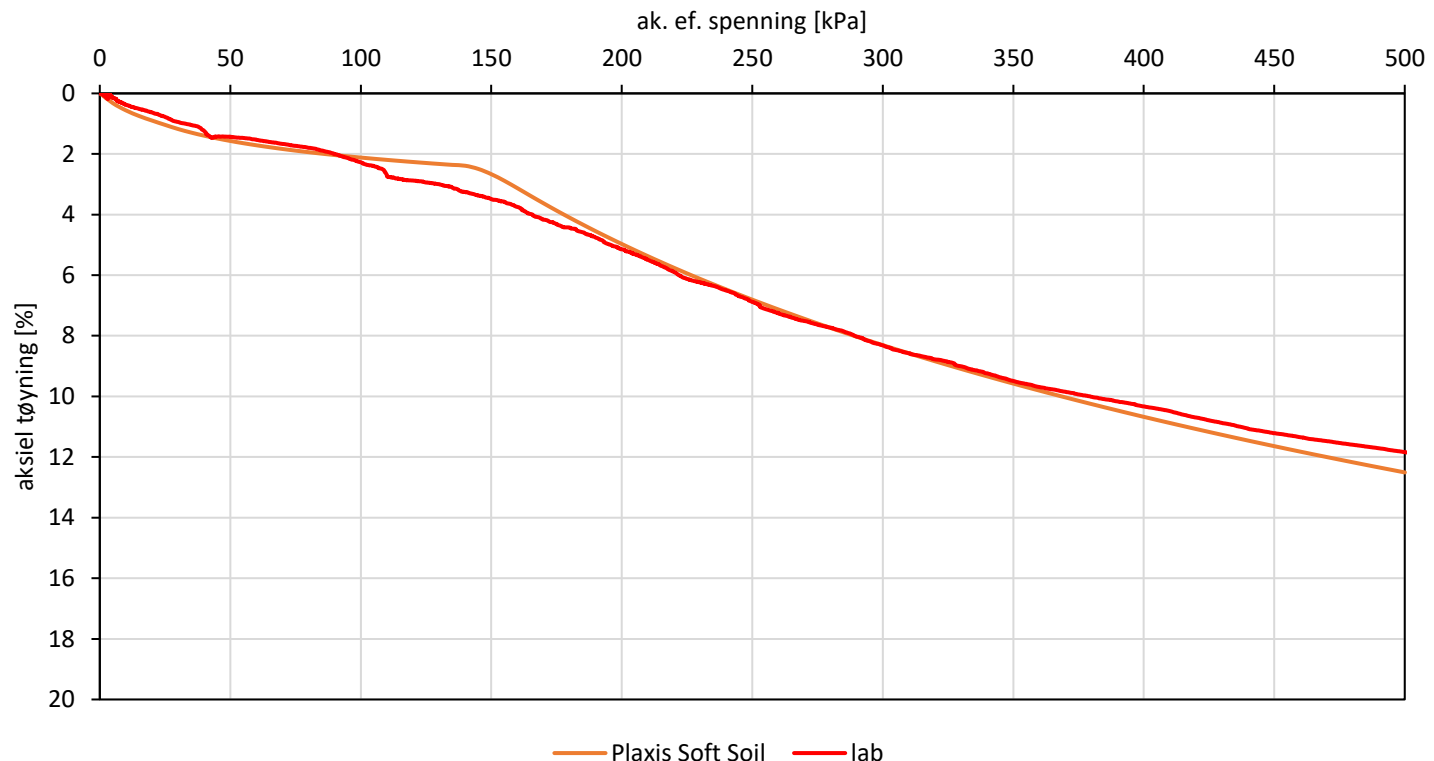
Soft Soil modell: eksempel for leire

eksempel fra Saupstadbru prosjektet:

Endte opp med:

Kappa* ~ 8,2E-3

Lambda* ~0,082



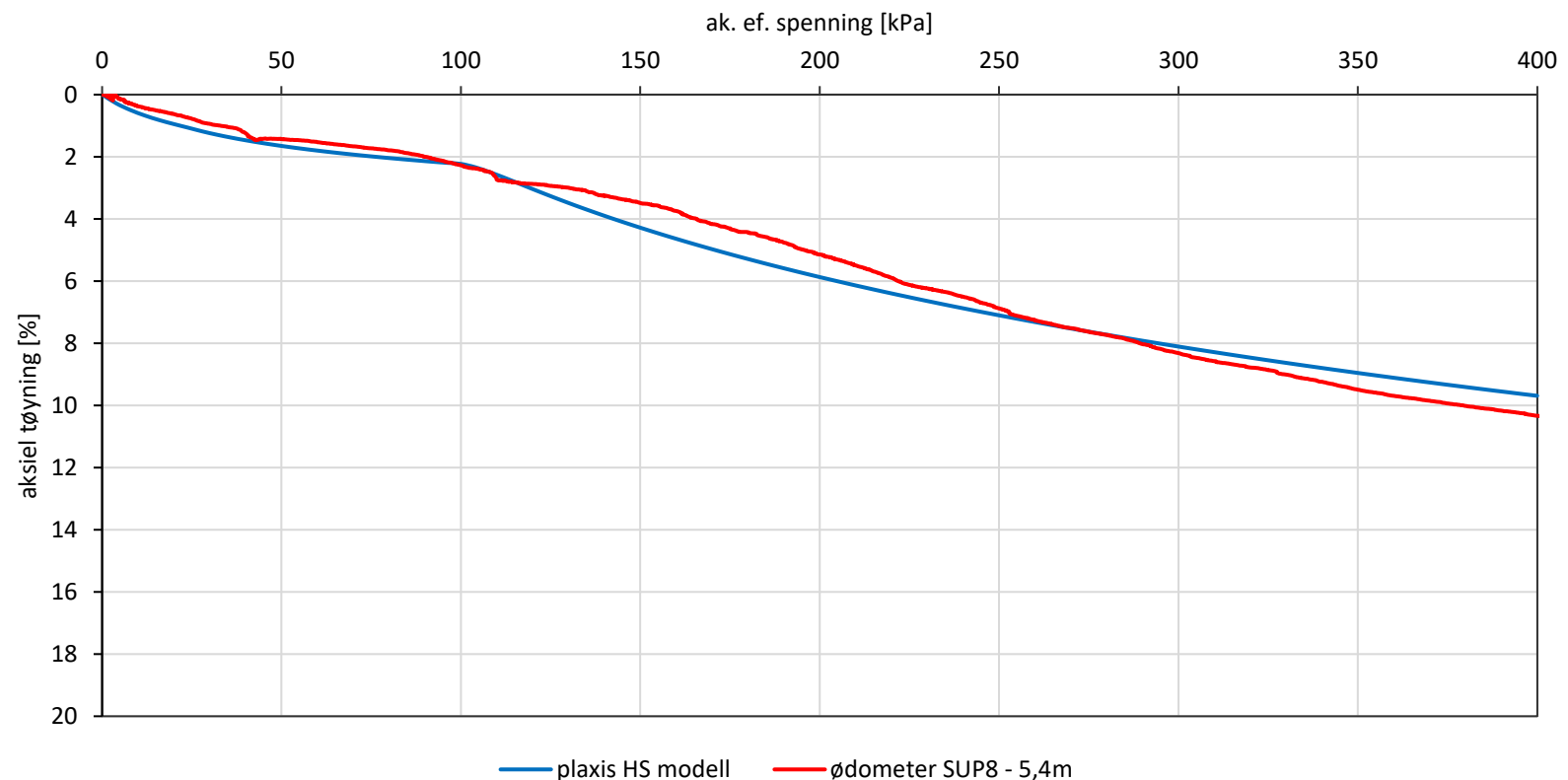
Soft Soil modell: eksempel for leire

eksempel fra Saupstadbru prosjektet:

Sensitivity analysis:

Kappa* ~ 8,7E-3

Lambda* ~0,055



Anbefaling om HS modell:

Possibilities and advantages compared to Mohr-Coulomb:

- Better non-linear formulation of soil behaviour in general (both soft soils and harder types of soil)
- Distinction between primary loading and unloading / reloading
- Memory of preconsolidation stress
- Different stiffnesses for different stress paths based on standard tests
- Well suited for unloading situations with simultaneous deviatoric loading (excavations)

Limitations and disadvantages:

- No peak strength and softening (immediate residual strength)
- No secondary compression (Creep)
- No anisotropy
- $E_{50} / E_{oed} > 2$ difficult to input

Fra «COMPUTATIONAL GEOTECHNICS», Plaxis kurs.

Small-strain stiffness: The HSsmall model

Advantages:

- Improved settlement trough behind retaining walls and above tunnels
- Less sensitive for position of model boundaries
- Hysteretic damping in dynamic applications

Fra «COMPUTATIONAL GEOTECHNICS», Plaxis kurs.

Anbefaling om Soft Soil modell:

Possibilities and *advantages* compared to LEPP (Mohr-Coulomb):

- Better non-linear formulation of soft soil behaviour (NC-clay; logarithmic compression)
- Distinction between primary loading and unloading / reloading
- Memory of preconsolidation stress
- Stiffness parameters based on oedometer tests
- Primarily suitable for compressive stress paths

Fra «COMPUTATIONAL GEOTECHNICS», Plaxis kurs.

Anbefaling om Soft Soil modell:

Limitations and disadvantages:

- Not suitable for other types than soft soils
- Less suitable for non-compressive stress paths
- Not recommended to be used for excavations and pure unloading situations
- No peak strength and softening (directly to residual strength)
- No secondary compression (creep)
- No anisotropy
- Not possible to get "dry" side

Fra «COMPUTATIONAL GEOTECHNICS», Plaxis kurs.

Anbefaling om ulike jordmodeller:

	Soft soil (NC-clay, peat)	Hard soils (OC-clay, sand, gravel)
Primary loading (surcharge)	Soft Soil (Creep), HS, HS <small>small</small>	HS, HS <small>small</small>
Unloading + deviatoric load (excavation)	HS, HS <small>small</small>	HS, HS <small>small</small>
Deviatoric loading	Soft Soil (Creep), HS, HS <small>small</small>	HS, HS <small>small</small>
Secondary compression	Soft Soil Creep	N/A

Fra «COMPUTATIONAL GEOTECHNICS», Plaxis kurs.

Anbefaling om ulike jordmodeller:

MC model: for simple estimates and for safety factors (stability)

Advanced soil models: for more accurate deformation predictions

Hardening Soil model:

- Use previous experience from lab, field and case records for strength and stiffness (E_{50} etc)
- Simulate an oedometer or/and a triaxial test to calibrate your soil parameter set
- Run your design problem
- Check the results and compare to hand calculations or other estimates / experience

Fra «Soil Modelling and Numerical Analyses», AFRY/Chalmers kurs.

Takk for oppmerksomheten!

Making Future